

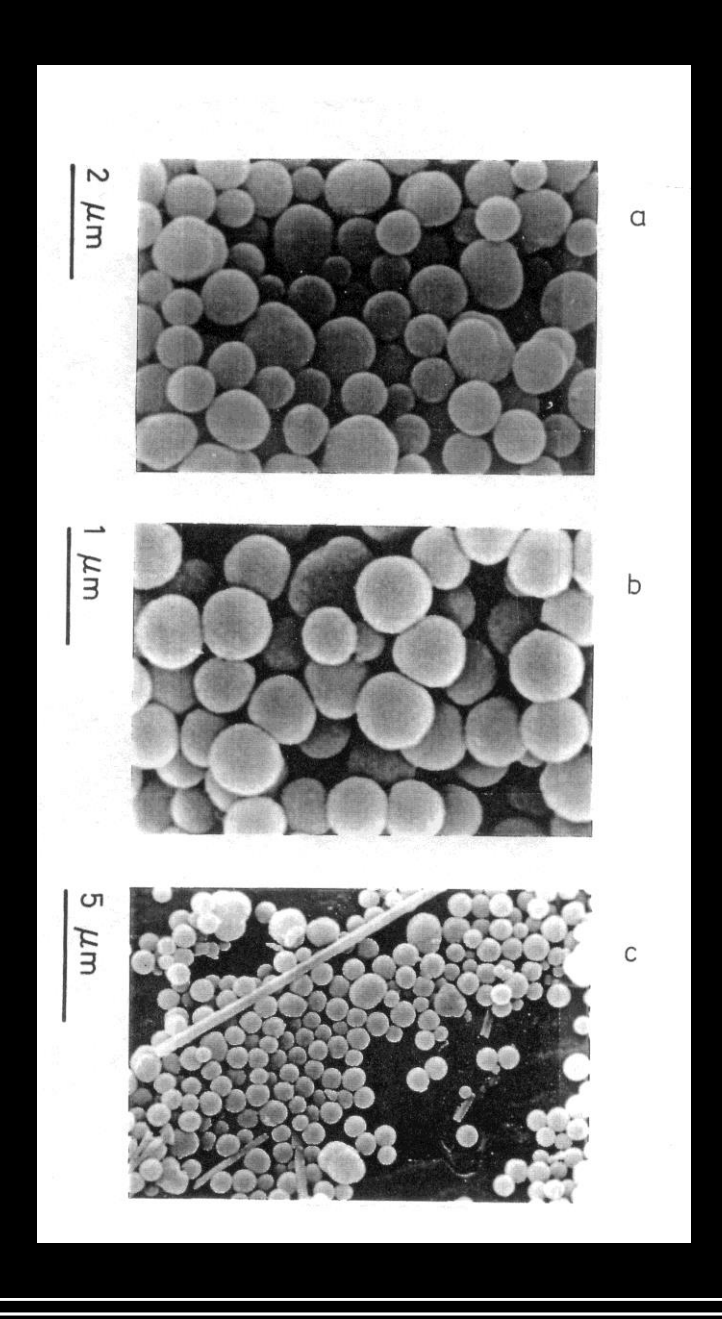
Precipitación de Oxidos Metálicos en Medios Acuosos:

Partículas Monodispersas

Alberto E. Regazzoni

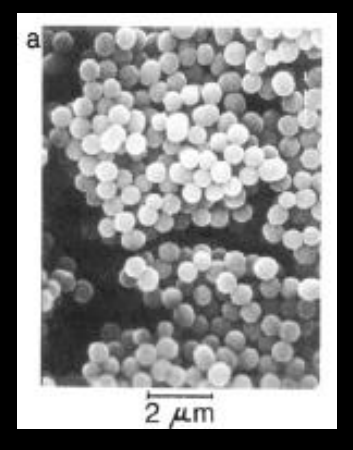
Gerencia Química Centro Atómico Constituyentes Comisión Nacional de Energía Atómica

e-mail: regazzon@cnea.gov.ar

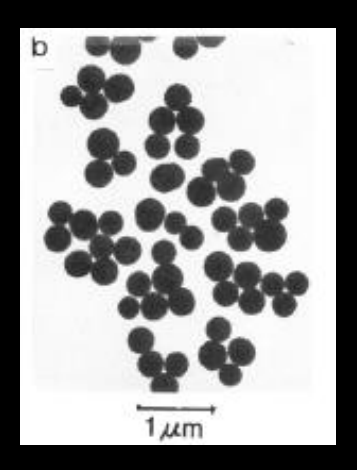


Partículas obtenidas a partir de soluciones de Cu(NO₃)₂ alcalinizadas por hidrólisis de urea

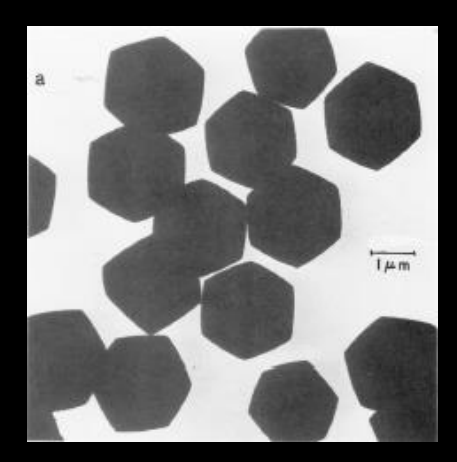
- a) [Cu(II)] = 0,0025 M
- b) [Cu(II)] = 0,0050 M
- c) [Cu(II)] = 0.010 M



Aluminum (hydrous) oxide obtained by aging at 105 $^{\circ}$ C for 24 h a solution of 2.0x10 $^{-3}$ M Al(NO₃)₃ and 3.0x10 $^{-3}$ M (NH₄)₂SO₄



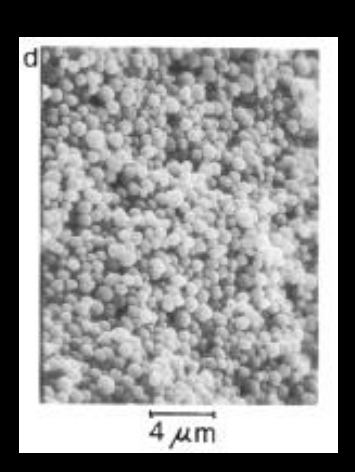
Chromium (hydrous) oxide particles obtained by aging at 75 °C for 24 h a solution of $4.0x10^{-3}$ M CrK(SO₄)₂.12H₂O



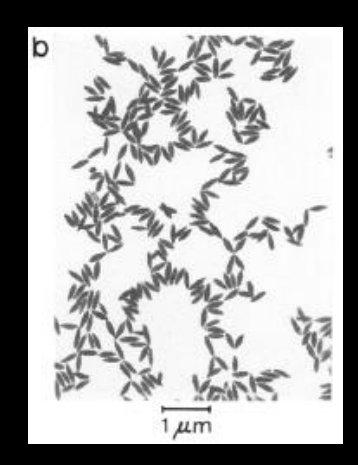
Ferric basic sulfate (alunite), Fe₃(SO₄)₂(OH)₅.2H₂O, particles obtained by aging at 98 °C for 2.8 h an 8.8x10⁻² M aqueous ferric sulfate solution



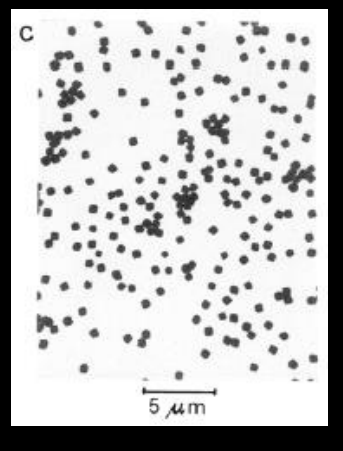
Akageneite (β-FeOOH) particles obtained by aging at 100 °C for 24 h a solution of 4.5x10⁻³ M FeCl₃ and 0.01 M HCl



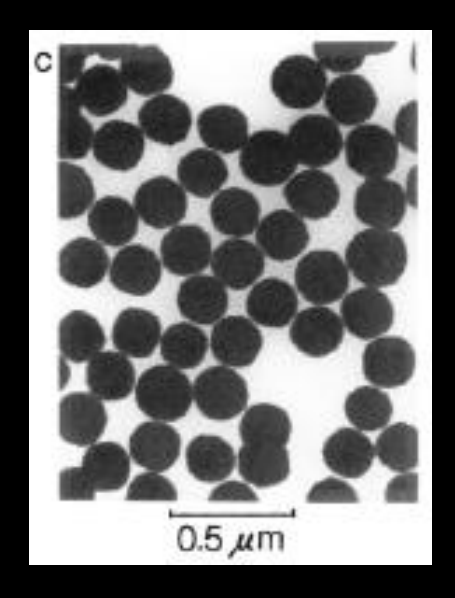
Hematite particles obtained by aging at 100 °C for 10 days a solution of $3.0x10^{-2}$ M FeCl₃, and $5.0x10^{-3}$ M HCl



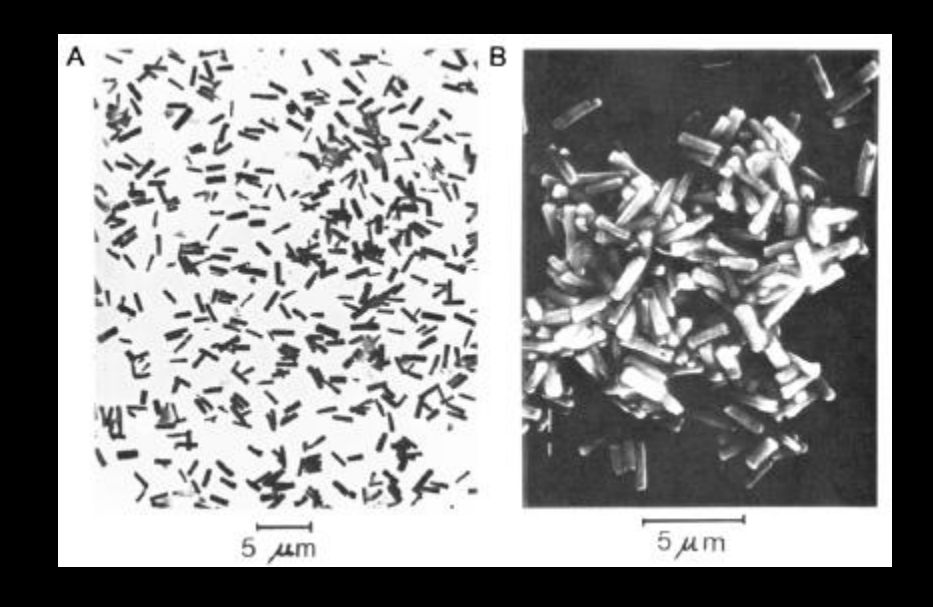
Hematite (α -Fe₂O₃) particles obtained by aging at 100 °C for 48 h a solution of 2.0x10⁻² M FeCl₃ and 3.0x10⁻⁴ M NaH₂PO₄



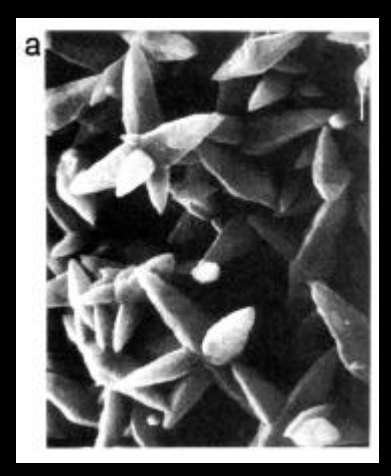
Hematite (α -Fe₂O₃) particles obtained by aging at 100 °C for 16 h a solution of 1.9x10⁻² M FeCl₃, 1.2x10⁻³ M HCl, and 40% (vol) ethanol



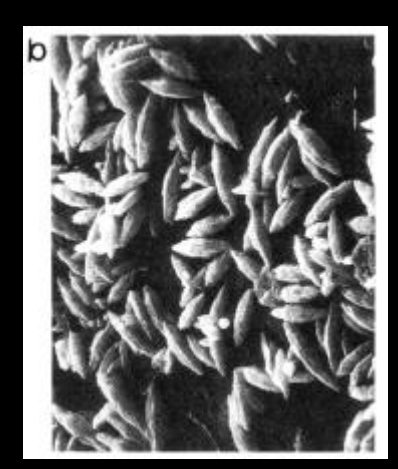
Cerium(IV) oxide particles obtained by aging at 90 $^{\circ}$ C for 48 h a solution of 1.2x10 $^{-3}$ M Ce(SO₄)₂ and 8.0x10 $^{-2}$ M H₂SO₄



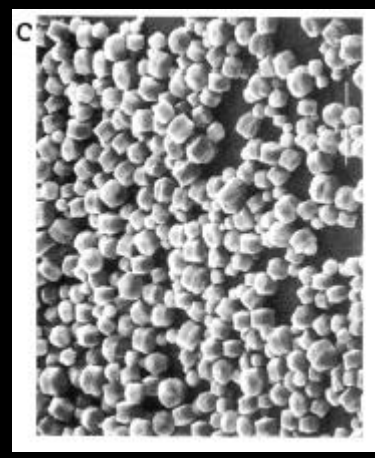
Rodlike particles obtained by aging at 90 $^{\circ}$ C for 12 h a 2.5x10 $^{-3}$ M Ce(SO₄)₂, 0.01 M H₂SO₄ and 0.4 M Na₂SO₄ solution



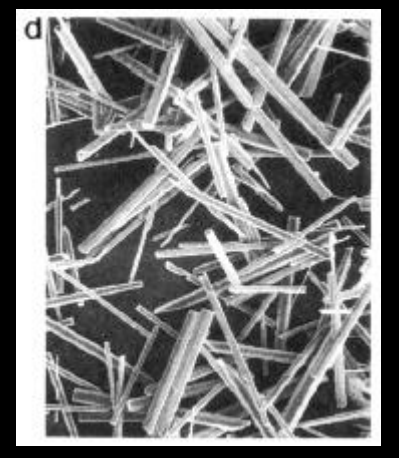
ZnO (zincite) particles obtained by aging $5.0x10^{-3}$ M $Zn(NO_3)_2$ and $1.9x10^{-2}$ M NH_4OH (pH 7.7) at 90 °C for 3 h



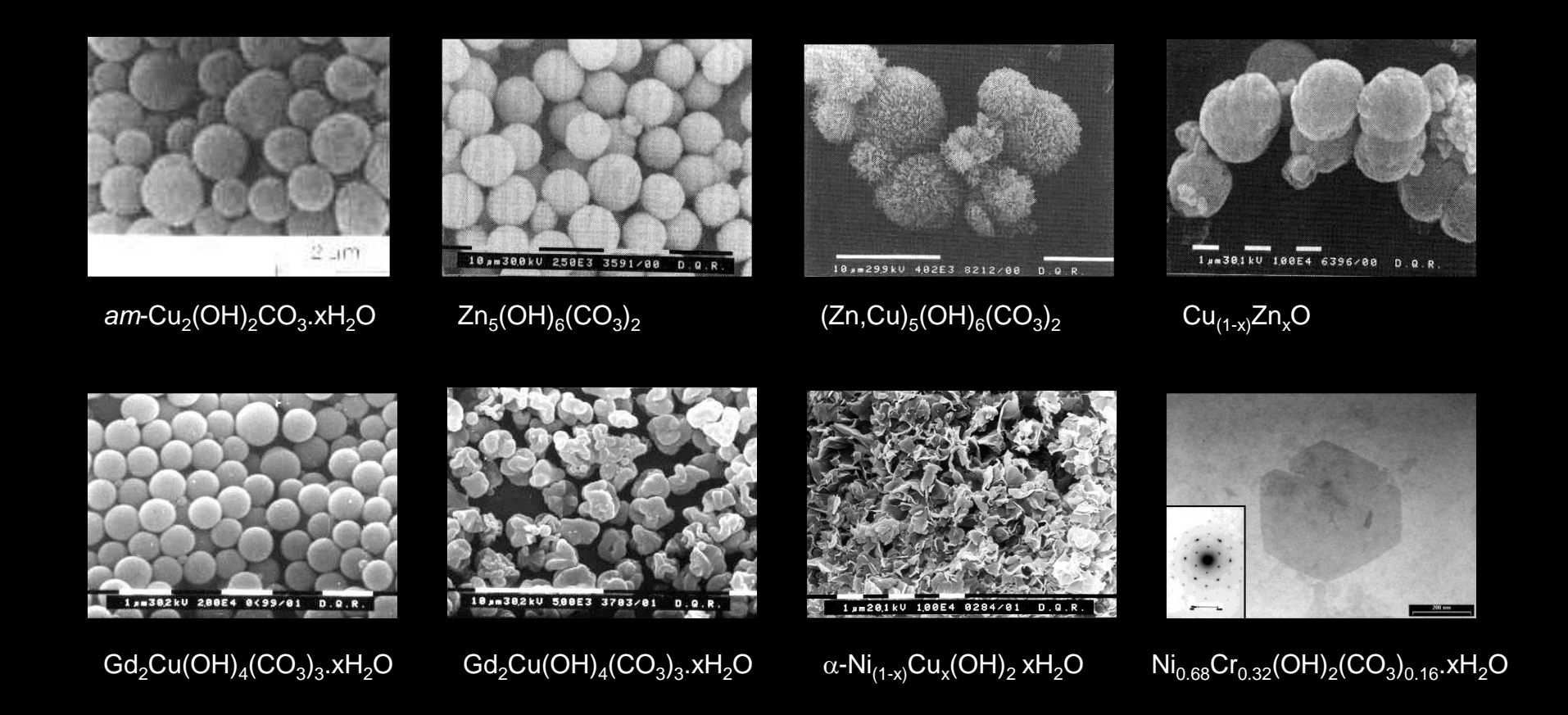
ZnO (zincite) particles obtained by aging 1.0x10⁻⁴ M Zn(NO₃)₂ and 3.2x10⁻² M NH₄OH (pH 8.8) at 90 °C for 1 h

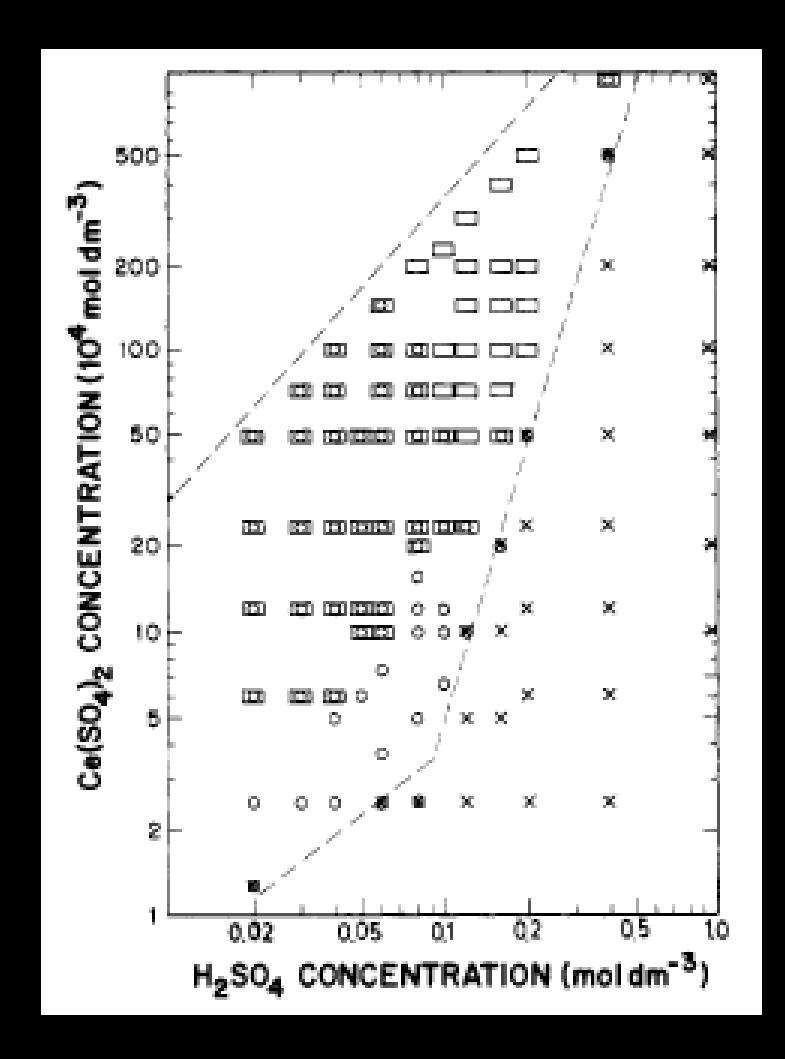


ZnO particles obtained by aging $3.2x10^{-3}$ M Zn(NO₃)₂ and 0.1 M triethanolamine (TEA), pH 8.9, at 90 °C for 1 h



ZnO particles obtained by aging a 4.0×10^{-2} M Zn(NO₃)₂, 0.2 M triethanolamine (TEA), and 1.2 M NaOH (pH 12.1) at 150 °C for 2 h

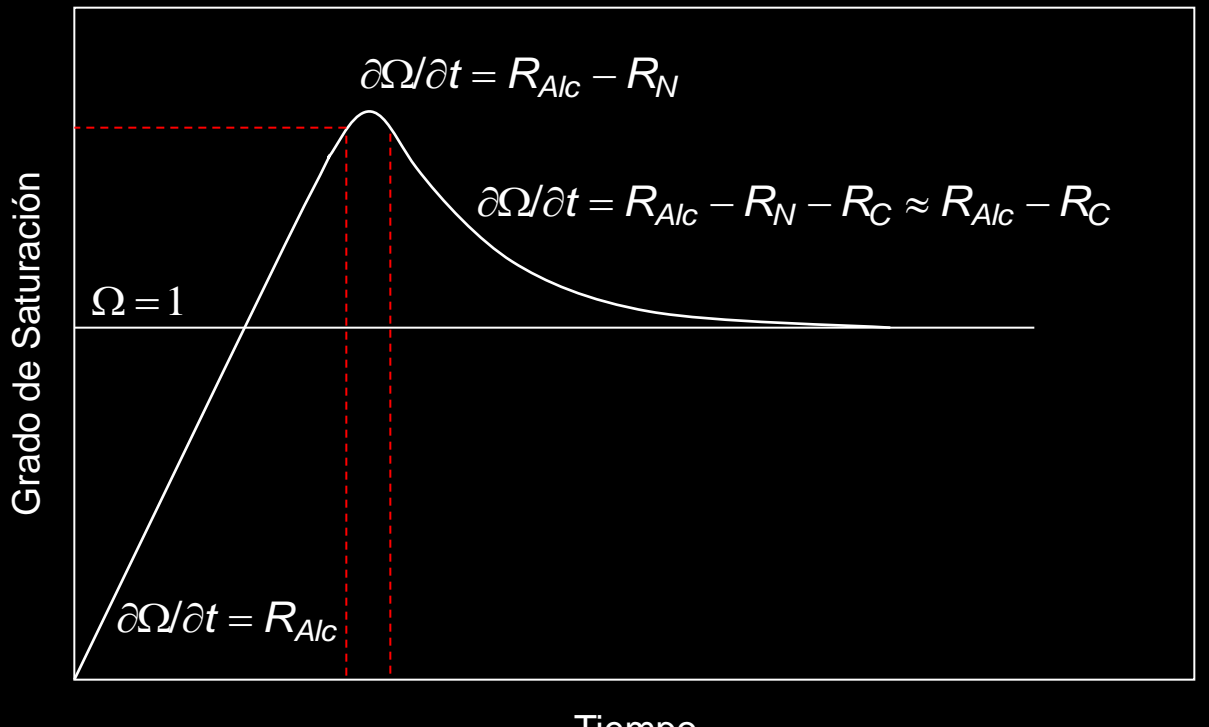




Precipitation domain for solutions containing $Ce(SO_4)_2$ and H_2SO_4 aged at 90 °C for 12 h. Symbols designating different kinds of particles: O spheres; \square rods; \square O rods mixed with spheres; \odot a very small amount of spheres; X no particle formation.

Síntesis de partículas uniformes (tamaño y forma)

Requisito: Separar las etapas de nucleación y crecimiento



Tiempo

Se logra mediante un adecuado control de la velocidad con que aumenta el grado de sobresaturación

Requisitos para la Síntesis de Partículas Monodispersas. **Conocer:**

Solubilidad (termodinámica)

$$x M(OH)_z (s) + (xz-y) H^+ = M_x(OH)_y^{(zx-y)+} + (xz-y) H_2O$$

Hidrólisis (cinética)

$$M(H_2O)_{n}^{z+} + H_2O^* \longrightarrow M(H_2O)_{n-1}H_2O^{*z+} + H_2O$$

$$M(H_2O)_{n-1}H_2O^{z+} + OH^- \longrightarrow M(H_2O)_{n-1}OH^{(z-1)+} + H_2O$$

$$M(H_2O)_{n-1}OH^{(z-1)+} + OH^- \longrightarrow M(H_2O)_{n-2}(OH)_2^{(z-2)+} + H_2O$$

Equilibrios de Solubilidad

$$M(OH)_z(s) + zH^+ = M^{z+} + zH_2O; \quad K_{S0} = \frac{[M^{z+}]}{[H^+]^z}$$

$$K_{S0} = \frac{K_{PS}}{K_W^z}$$

Equilibrios de Hidrólisis

$$M^{Z^{+}} + H_{2}O = MOH^{(z-1)+} + H^{+}; \quad K_{1} = \frac{[MOH^{(z-1)+}][H^{+}]}{[M^{Z^{+}}]}$$

$$M^{Z^{+}} + 2H_{2}O = M(OH)_{2}^{(z-2)+} + 2H^{+}; \quad K_{2} = \frac{[M(OH)_{2}^{(z-2)+}][H^{+}]^{2}}{[M^{Z^{+}}]}$$

$$xM^{Z+} + yH_2O = M_X(OH)_y^{(ZX-y)+} + yH^+; \quad K_{x,y} = \frac{[M_X(OH)_y^{(ZX-y)+}][H^+]^y}{[M^{Z+}]^x}$$

Balance de Masa

$$S = \sum x[M_X(OH)_y^{(zx-y)+}]$$

Balance de Carga

$$0 = C_{B} - z_{A}C_{A} + [H^{+}] - [OH^{-}] + \sum_{X} (z_{X} - y)[M_{X}(OH)_{y}^{(z_{X} - y) +}]$$



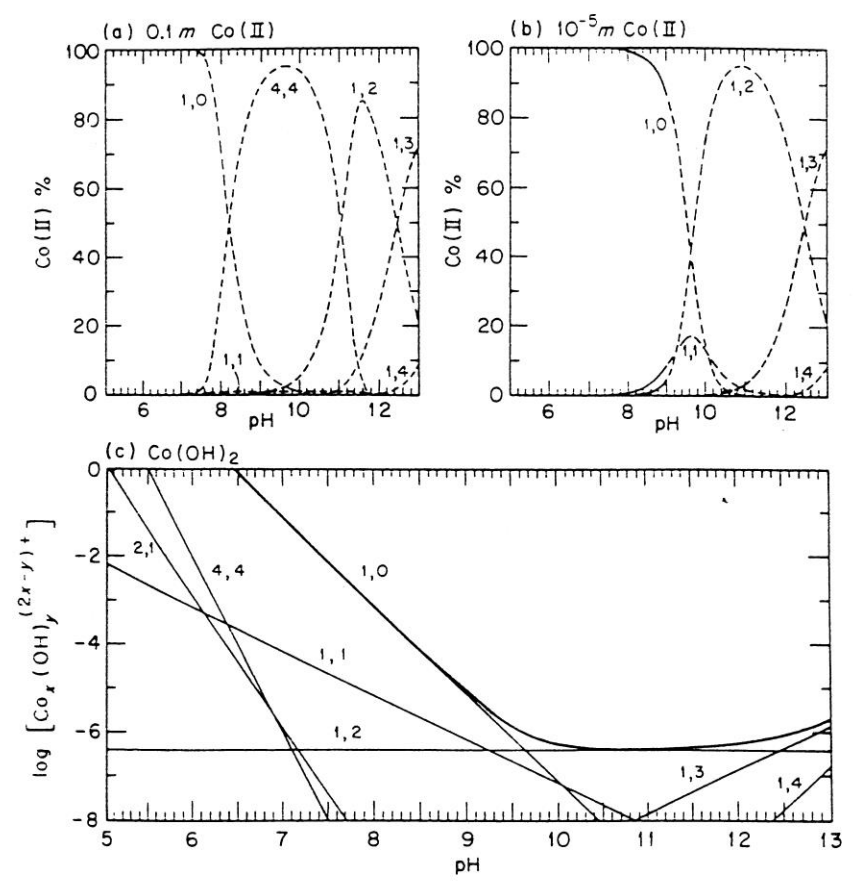


Fig. 10.14. Distribution of hydrolysis products (x,y) at I=1 m and 25° in (a) 0.1 m Co(II), (b) 10⁻⁵ m Co(II), and (c) solutions saturated with respect to Co(OH)₂. The dashed curves in a and b denote regions supersaturated with respect to Co(OH)₂; the heavy curve in c is the total concentration of Co(II).

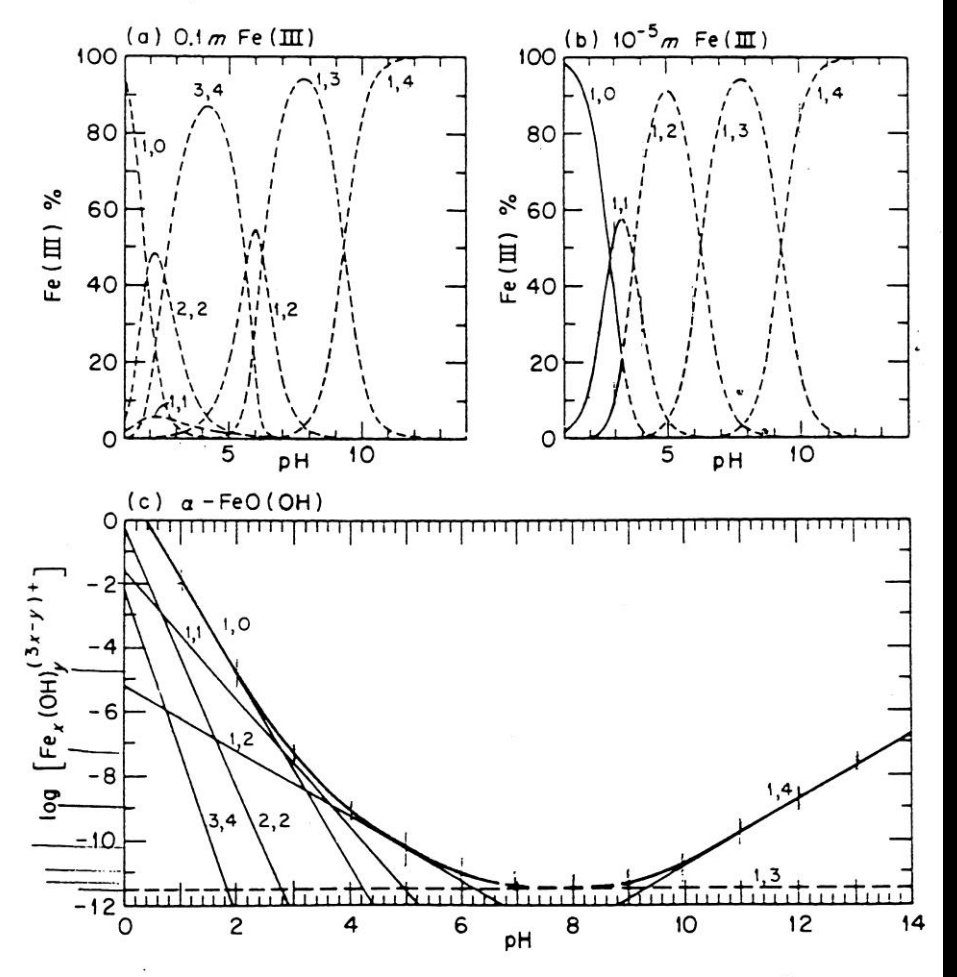
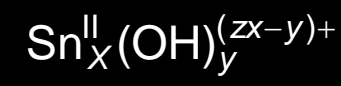


Fig. 10.13. Distribution of hydrolysis products (x,y) at I=1 m and 25° in (a) 0.1 m Fe(III), (b) 10⁻⁵ m Fe(III), and (c) solutions saturated with α -FeO(OH). The dashed curves in a and b denote regions supersaturated with respect to α -FeO(OH); the heavy curve in c is the total concentration of Fe(III).

 $\mathsf{Fe}_X^{\mathsf{III}}(\mathsf{OH})_y^{(zx-y)+}$



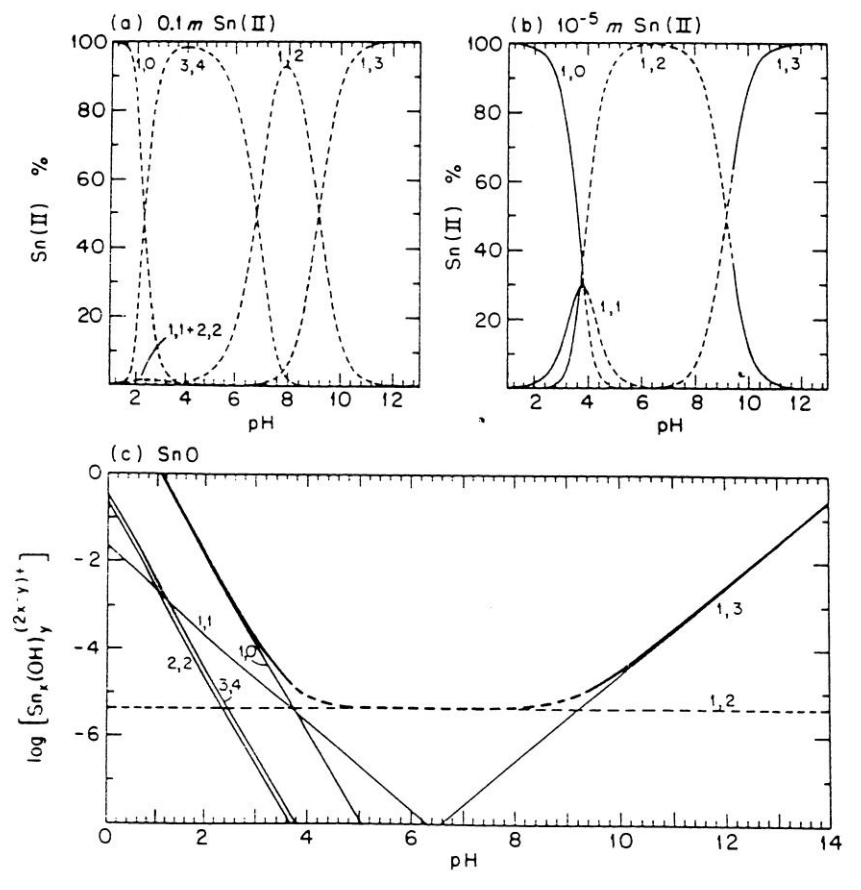


Fig. 15.6. Distribution of hydrolysis products (x,y) at l=1 m and 25° in (a) 0.1 m Sn(II), (b) 10^{-5} m Sn(II), and (c) solutions saturated with SnO. The dashed curves in a and b denote regions supersaturated with respect to SnO; the heavy curve in c is the total concentration of tin(II). The minimum is dashed because of the uncertainty with which the Sn(OH)₂ species is known.

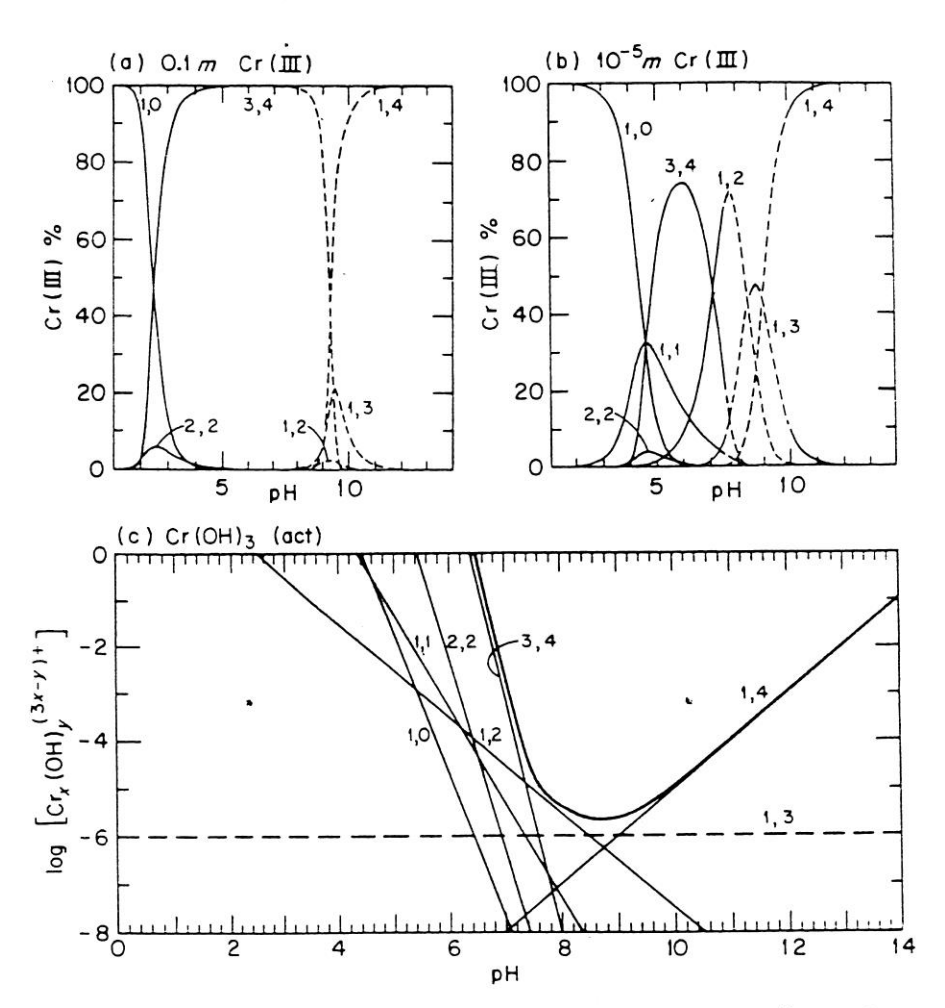


Fig. 10.8. Distribution of hydrolysis products (x,y) at I = 1 m and 25° in (a) 0.1 m Cr(III), (b) 10⁻⁵ m Cr(III), and (c) solutions saturated with Cr(OH)₃. The dashed curves in a and b denote regions supersaturated with respect to Cr(OH)₃; the heavy curve in c is the total concentration of chromium(III).

 $\operatorname{Cr}_X^{\operatorname{III}}(\operatorname{OH})_y^{(zx-y)+}$

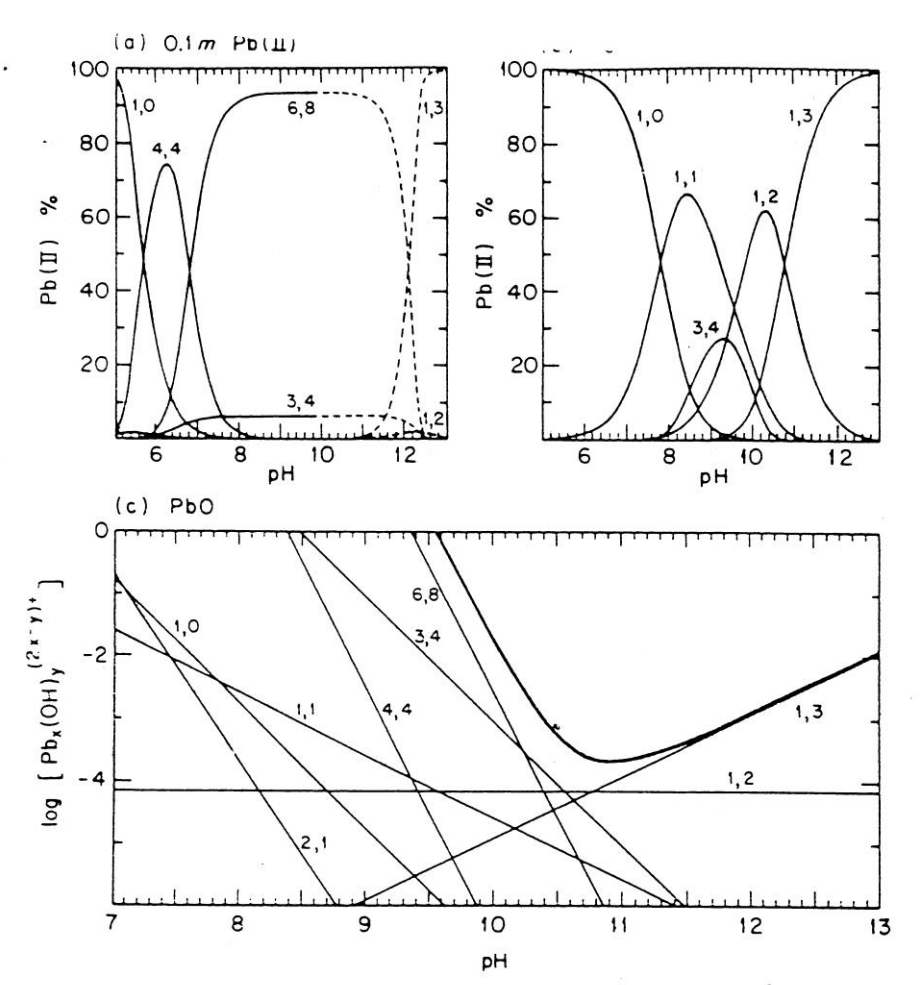


Fig. 15.9. Distribution of hydrolysis products (x,y) at I = 1 m and 25° in (a) 0.1 m Pb(II), (b) 10^{-5} m Pb(II), and (c) solutions saturated with PbO. The dashed curves in a and b denote regions supersaturated with respect to PbO; the heavy curve in c is the total concentration of lead(II).

 $\mathsf{Pb}^{\mathsf{II}}_X(\mathsf{OH})^{(zx-y)_+}_y$

Equilibrios de Solubilidad

$$M(OH)_z(s) + zH^+ = M^{z+} + zH_2O; \quad K_{S0} = \frac{[M^{z+}]}{[H^+]^z}$$

$$K_{S0} = \frac{K_{PS}}{K_W^z}$$

Equilibrios de Hidrólisis

$$M^{Z^{+}} + H_{2}O = MOH^{(z-1)+} + H^{+}; \quad K_{1} = \frac{[MOH^{(z-1)+}][H^{+}]}{[M^{Z^{+}}]}$$

$$M^{Z^{+}} + 2H_{2}O = M(OH)_{2}^{(z-2)+} + 2H^{+}; \quad K_{2} = \frac{[M(OH)_{2}^{(z-2)+}][H^{+}]^{2}}{[M^{Z^{+}}]}$$

$$xM^{Z+} + yH_2O = M_X(OH)_y^{(ZX-y)+} + yH^+; \quad K_{x,y} = \frac{[M_X(OH)_y^{(ZX-y)+}][H^+]^y}{[M^{Z+}]^x}$$

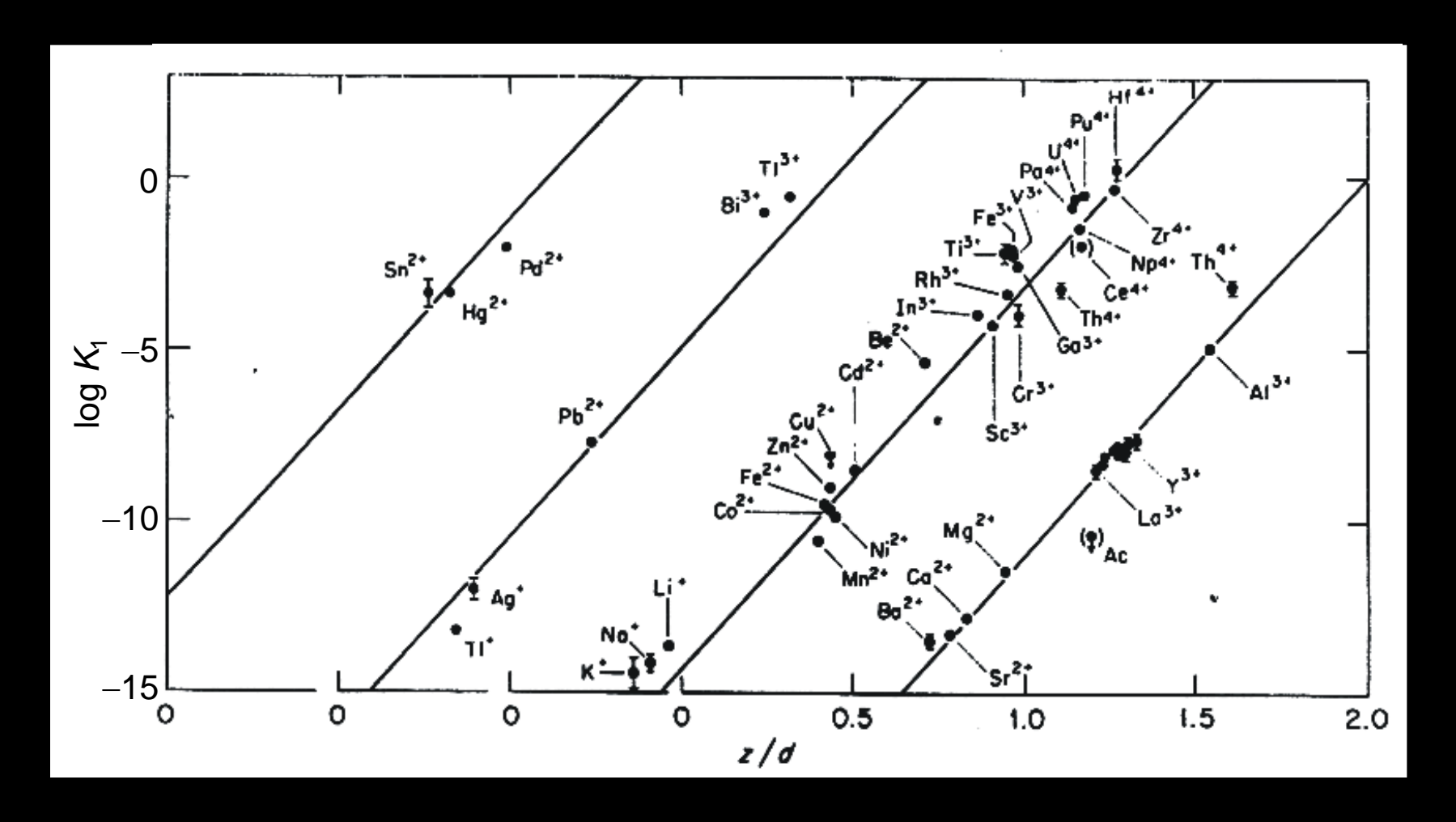
Balance de Masa

$$S = \sum x[M_X(OH)_y^{(zx-y)+}]$$

Balance de Carga

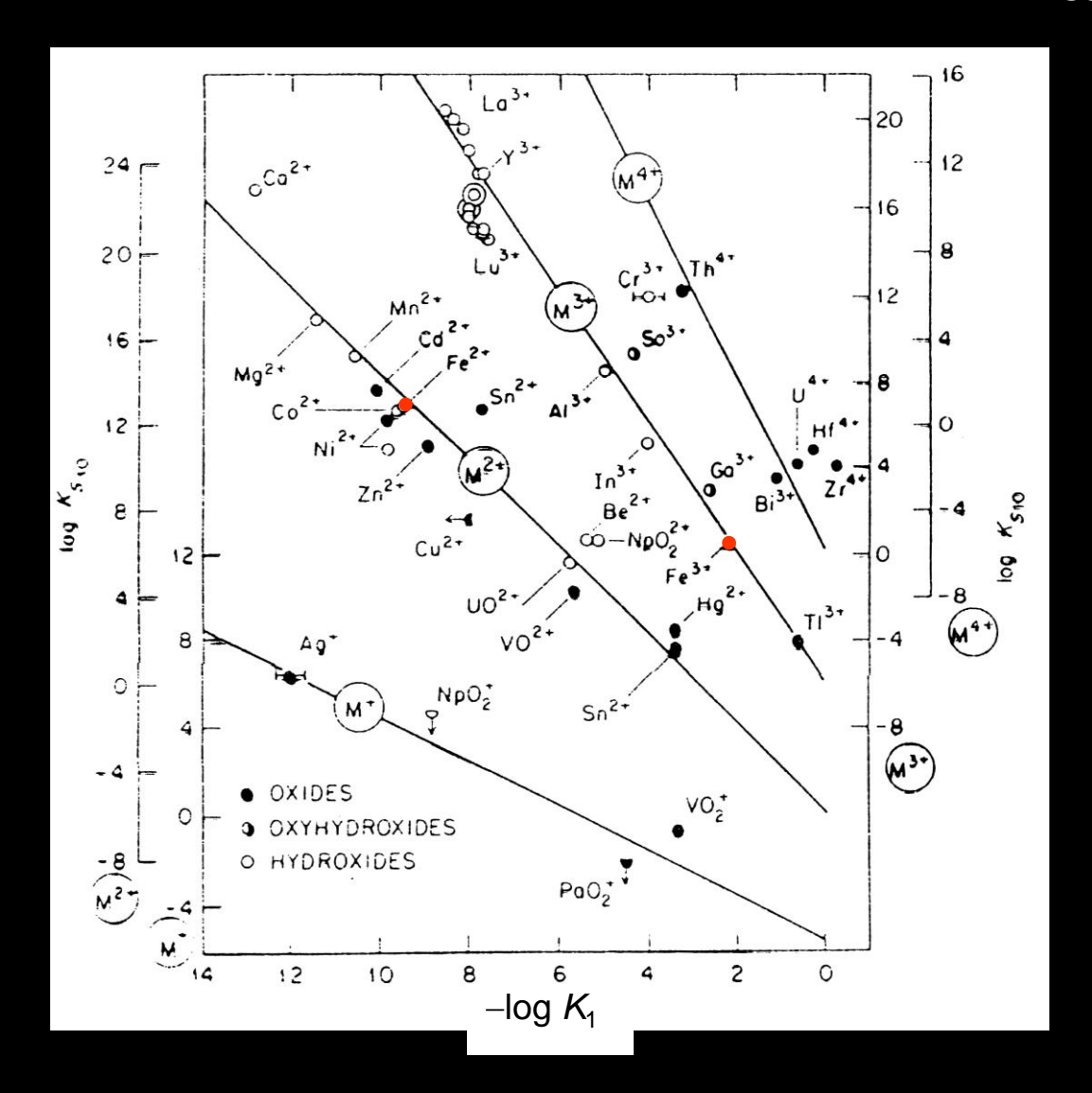
$$0 = C_{B} - z_{A}C_{A} + [H^{+}] - [OH^{-}] + \sum_{X} (z_{X} - y)[M_{X}(OH)_{y}^{(z_{X} - y) +}]$$

Dependencia de K₁ con la relación carga-radio



$$\log K_1 = A + 11 \times (z/d)$$

Relación Hidrólisis y Solubilidad: Relación entre K₁ y K_{S0}



Equilibrios de Solubilidad

$$M(OH)_z(s) + zH^+ = M^{z+} + zH_2O; \quad K_{S0} = \frac{[M^{z+}]}{[H^+]^z}$$

$$K_{S0} = \frac{K_{PS}}{K_W^z}$$

Equilibrios de Hidrólisis

$$M^{Z^{+}} + H_{2}O = MOH^{(z-1)+} + H^{+}; \quad K_{1} = \frac{[MOH^{(z-1)+}][H^{+}]}{[M^{Z^{+}}]}$$

$$M^{Z^{+}} + 2H_{2}O = M(OH)_{2}^{(z-2)+} + 2H^{+}; \quad K_{2} = \frac{[M(OH)_{2}^{(z-2)+}][H^{+}]^{2}}{[M^{Z^{+}}]}$$

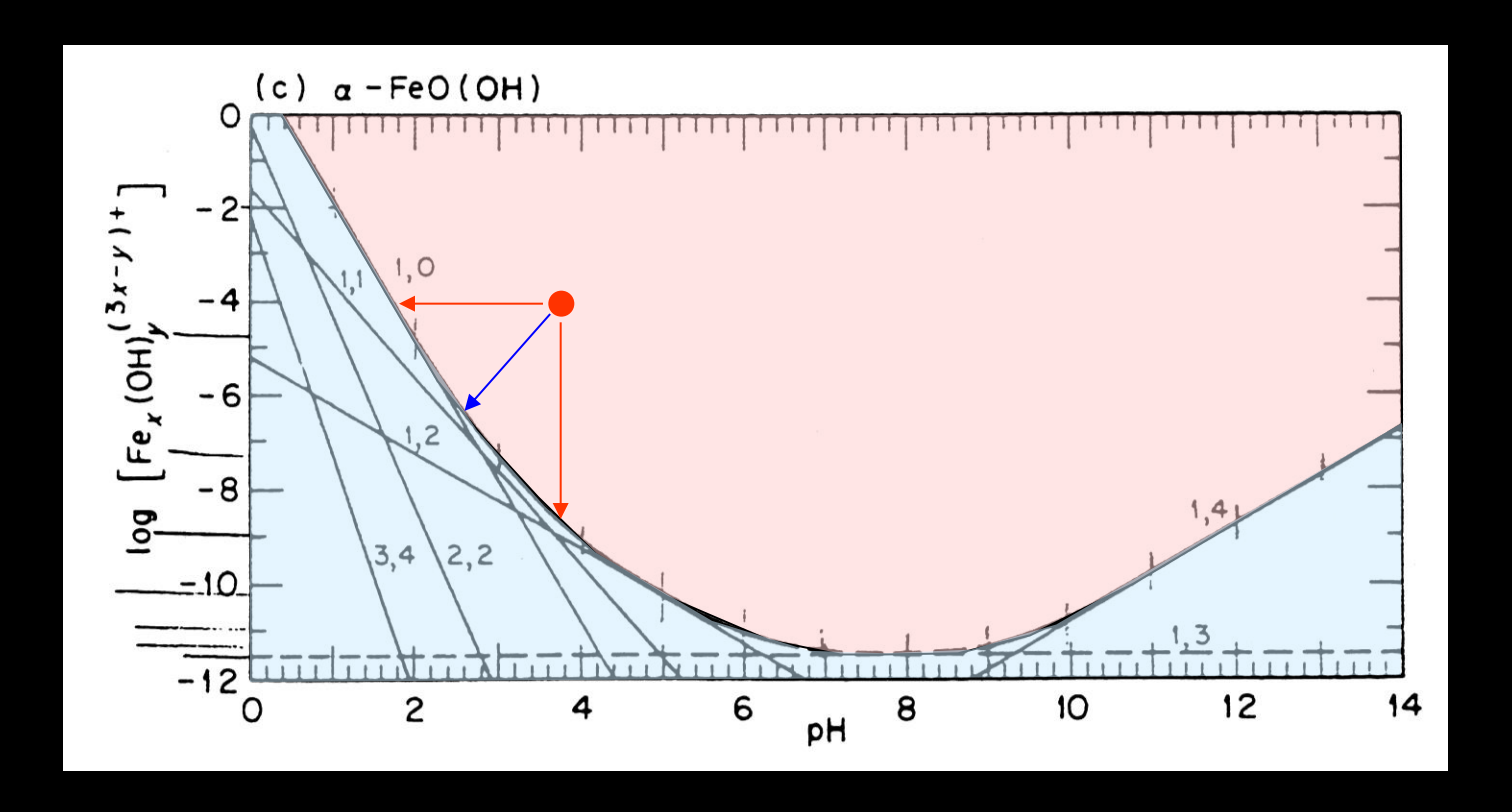
$$xM^{Z+} + yH_2O = M_X(OH)_y^{(ZX-y)+} + yH^+; \quad K_{x,y} = \frac{[M_X(OH)_y^{(ZX-y)+}][H^+]^y}{[M^{Z+}]^x}$$

Balance de Masa

$$S = \sum x[M_X(OH)_y^{(zx-y)+}]$$

Balance de Carga

$$0 = C_{B} - z_{A}C_{A} + [H^{+}] - [OH^{-}] + \sum_{X} (z_{X} - y)[M_{X}(OH)_{y}^{(z_{X} - y) +}]$$



$$M^{z+}(aq) + z OH^{-}(aq) \longrightarrow M(OH)_{z}(s); 1/K_{PS}$$

$$\overline{\Delta G} = \overline{\Delta G}^{o} - RT \ln(a_{M^{Z+}} a_{OH^{-}}^{z}) = -RT \ln(a_{M^{Z+}} a_{OH^{-}}^{z}) / K_{PS}$$

$$\overline{\Delta G} = -RT \ln \Omega$$

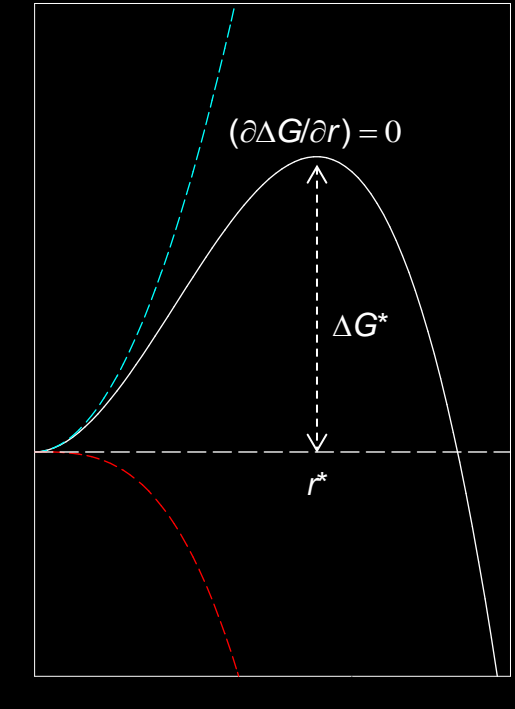
Nucleación

$$M^{z+}(aq) + zOH^{-}(aq) \longrightarrow M(OH)_{z}(s); 1/K_{PS}$$

$$\Delta G = n\overline{\Delta G} = -nRT \ln \Omega + A\gamma$$

$$\Delta G = -\frac{4\pi r^3}{3\overline{V}}RT\ln\Omega + 4\pi r^2\gamma$$

$$\Delta G^* = \frac{16\pi \overline{V}^2 \gamma^3}{3(RT \ln \Omega)^2} \qquad r^* = \frac{2\gamma \overline{V}}{RT \ln \Omega}$$



Tamaño núcleo

Velocidad de Nucleación

 ΔG^* es una barrera cinética a la formación de núcleos La nucleación puede verse como un proceso activado

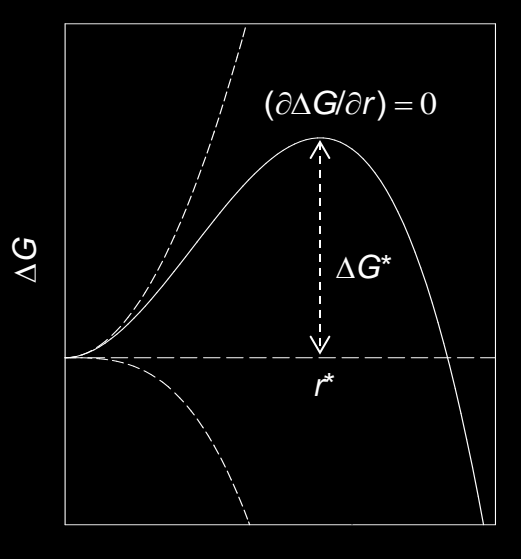
 $R_N \propto \exp(-\Delta G^*/RT)$ probabilidad de nucleación (fluctuación)

 $R_N \propto D = RT/6\pi r_i \eta$ velocidad de encuentros

 $R_N \propto v_o$ frecuencia encuentros exitosos

 $R_N \propto n_0$ número de centros de nucleación

$$R_N = k_N' n_0 \exp(-\Delta G^*/RT)$$
$$\Delta G^* = \frac{16\pi \overline{V}^2 \gamma^3}{3(RT \ln \Omega)^2}$$



Tamaño núcleo

Velocidad de Nucleación

 ΔG^* es una barrera cinética a la formación de núcleos La nucleación puede verse como un proceso activado

 $R_N \propto \exp(-\Delta G^*/RT)$ probabilidad de nucleación (fluctuación)

 $R_N \propto D = RT/6\pi r_i \eta$ velocidad de encuentros

 $R_N \propto v_o$ frecuencia encuentros exitosos

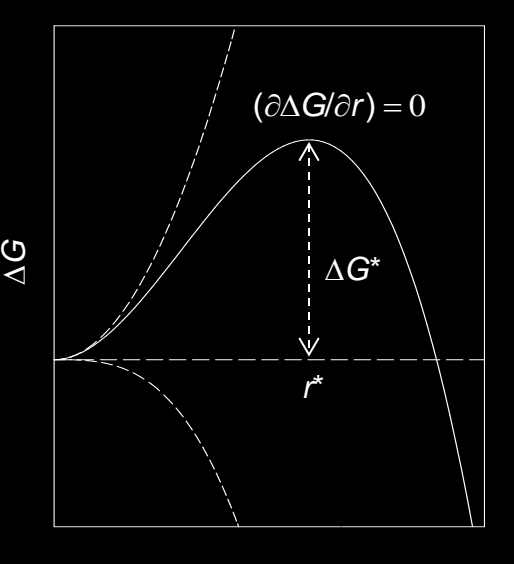
 $R_N \propto n_0$ número de centros de nucleación

$$R_N = k_N n_0 \exp(-\Delta G^*/RT)$$

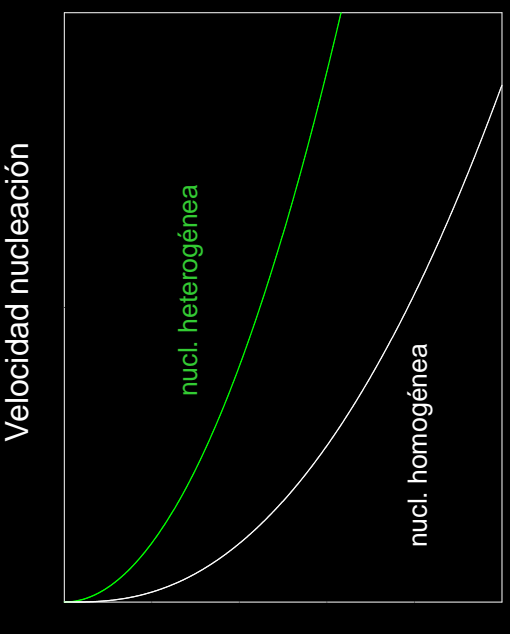
$$\Delta G^* = \frac{16\pi \overline{V}^2 \gamma^3}{3(RT \ln \Omega)^2}$$

Nucleación Heterogénea

$$\Delta G^* = \frac{16\pi \overline{V}^2 \gamma^3}{3(RT \ln \Omega)^2} [1 - f(\theta)]$$

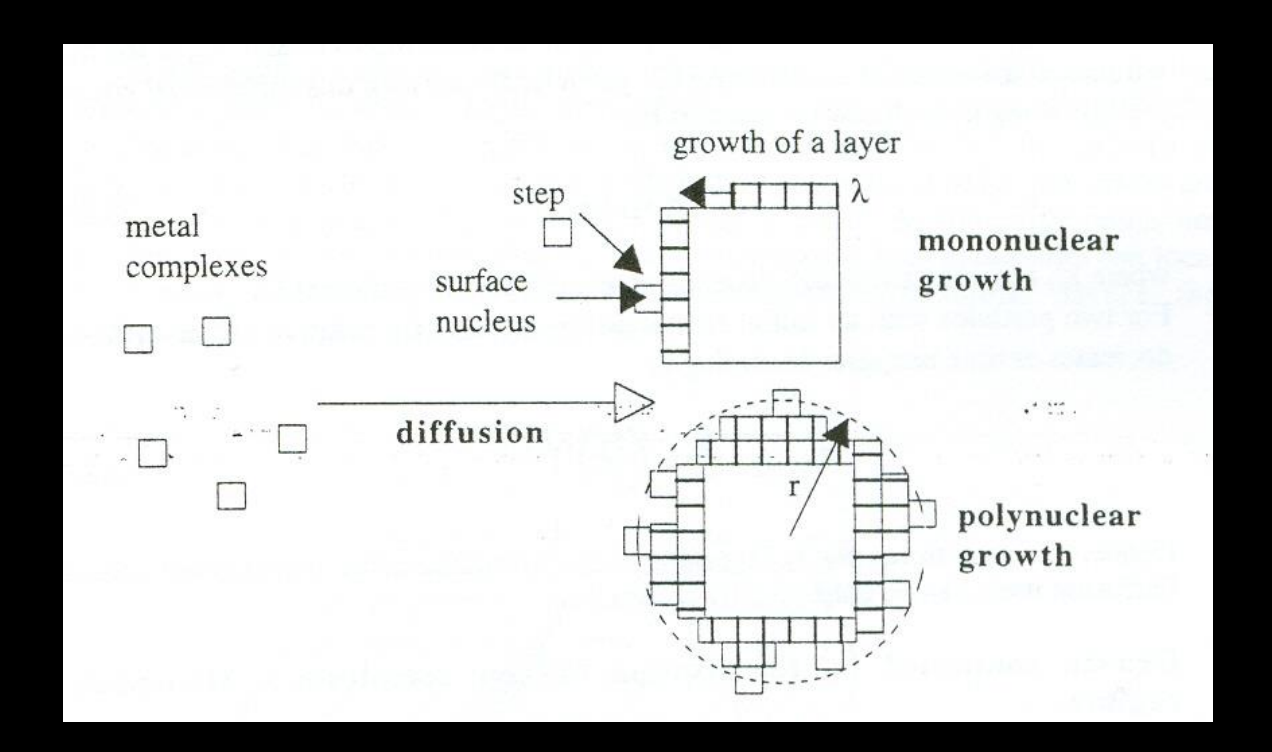


Tamaño núcleo



Sobresaturación

Crecimiento cristalino



Mecanismos:

- Control difusional
- Control superficial
 - •Régimen mononuclear (crecimiento bidimencional rápido)
 - •Régimen polinuclear (nucleación superficial rápida)
 - Crecimiento espiralado (adición de unidades de crecimiento en dislocaciones)

Crecimiento cristalino

- •Control difusional $R_C = \partial r / \partial t = k_D'(\Omega 1)/r$ supone que $r \approx \delta$ δ (espesor de la película de difusión)
- Control superficial
 - Régimen mononuclear

•Régimen polinuclear

$$R_{\rm C} = k_{\rm M} r^2 (\Omega - 1)^m$$

 $R_C = k_P (\Omega - 1)^{(m+2)/3}$

proporcional al área

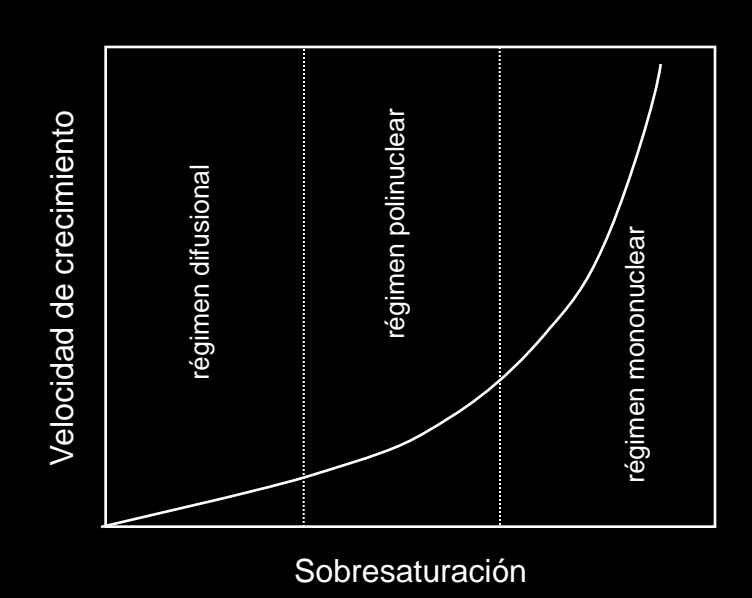
independiente del área m (ca. número de moléculas de precursor por núcleo)

Crecimiento espiralado

$$R_C = k_{BCF}[v(\Omega - 1)^2 / a] \tanh[v(\Omega - 1) / a]$$

v (número de dislocaciones)

a (constante)



Crecimiento cristalino?

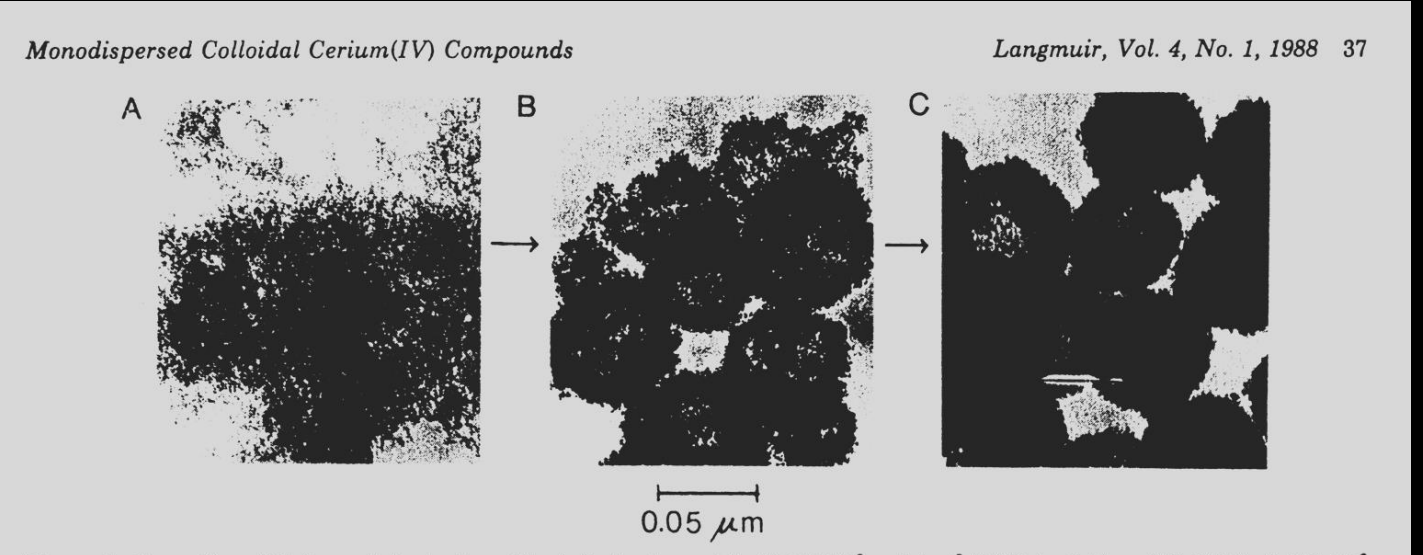
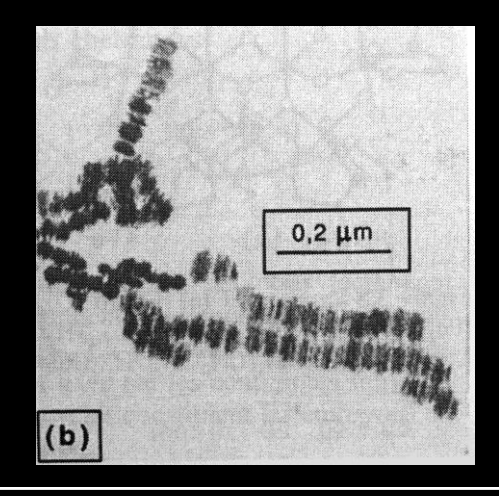
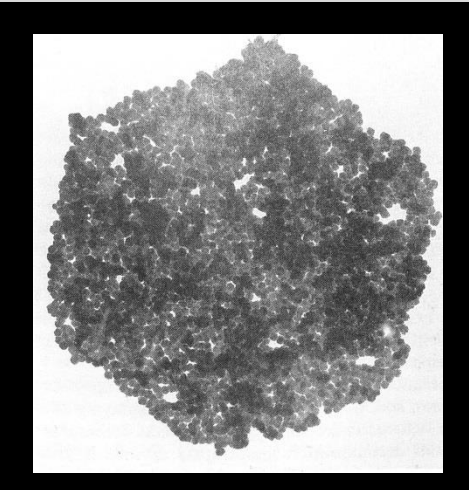
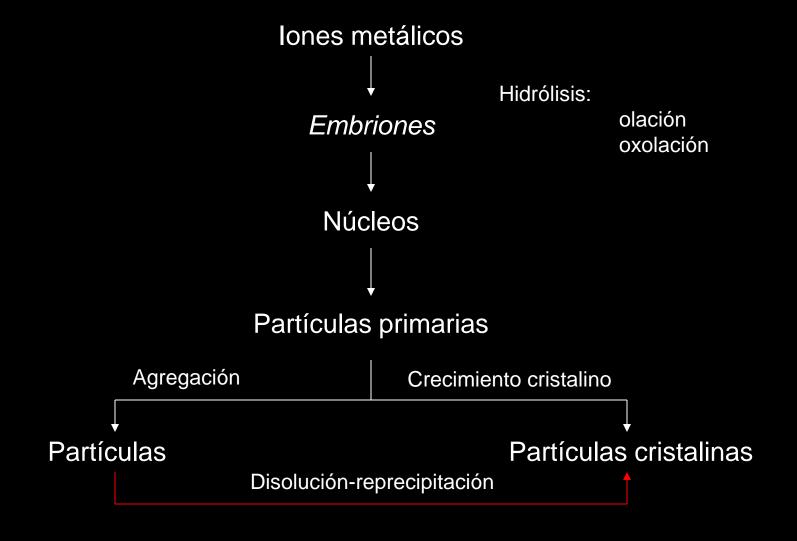


Figure 8. Formation of CeO_2 particles by forced hydrolysis of an acidic $(4.0 \times 10^{-2} \text{ mol dm}^{-3} \text{ H}_2 \text{SO}_4)$ solution of $Ce(SO_4)_2$ $(1.0 \times 10^{-3} \text{ mol dm}^{-3})$ heated at 90 °C during a 6-h period.

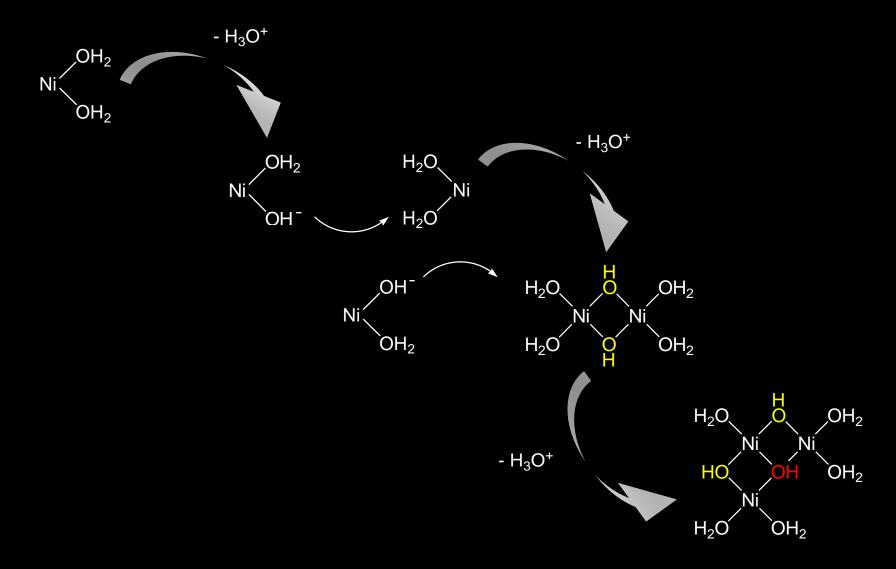




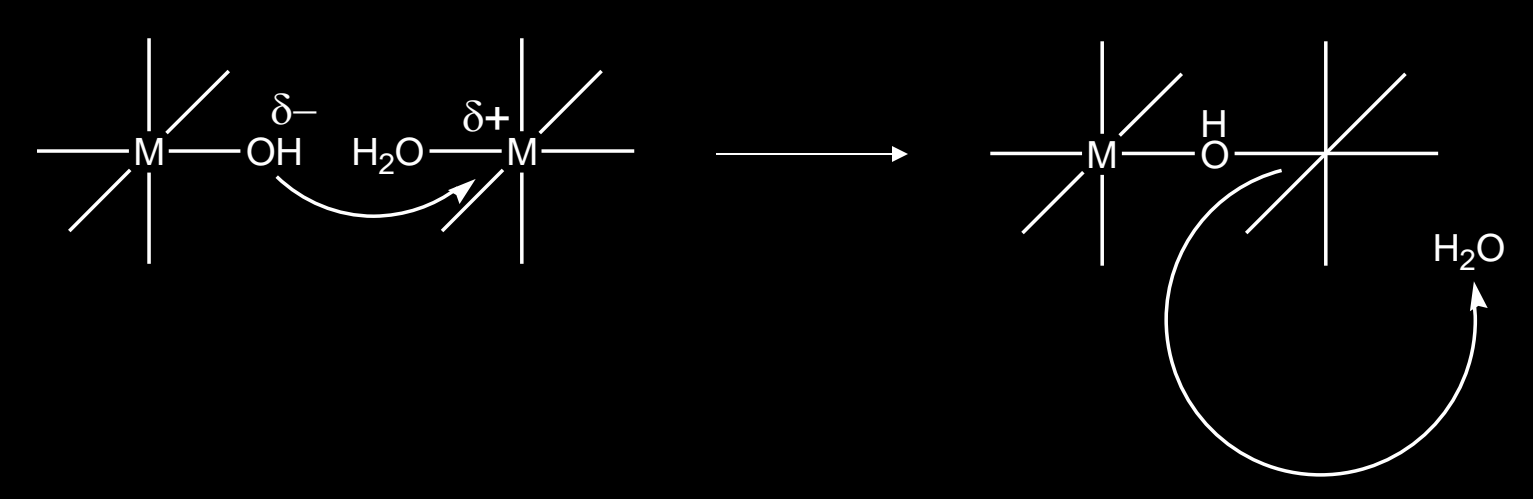
Mecanismo de Precipitación



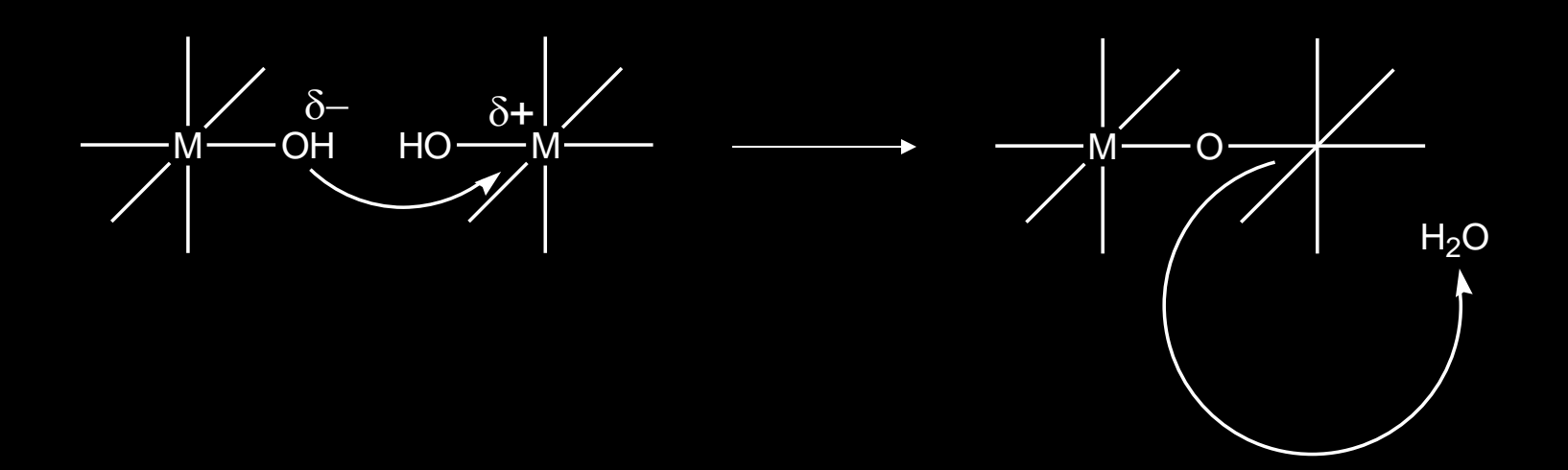
Nucleación (Cascada de hidrólisis)



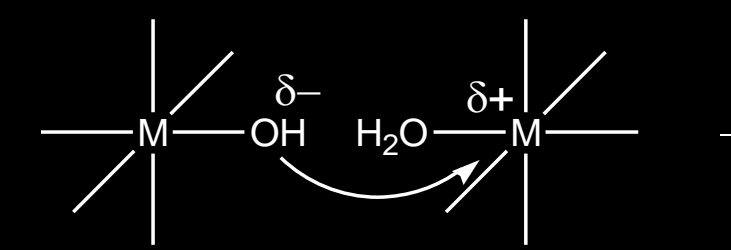
Olación



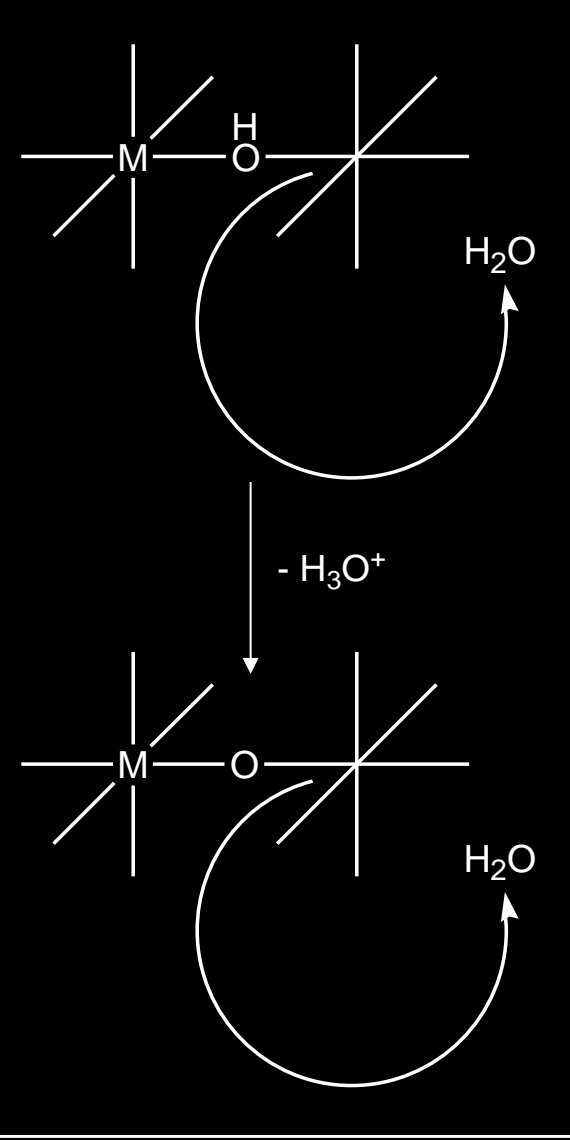
Oxolación



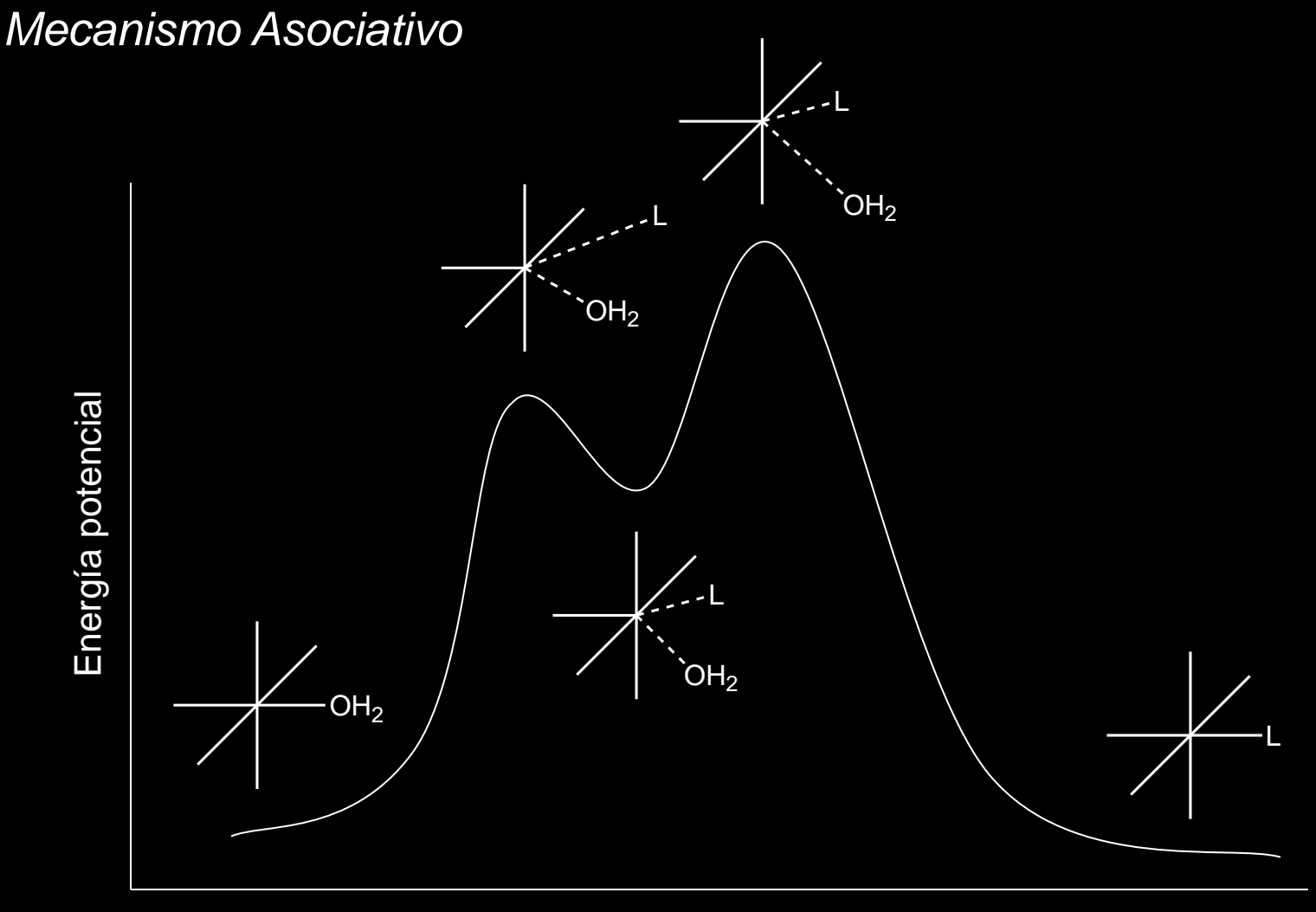
Olación



Oxolación



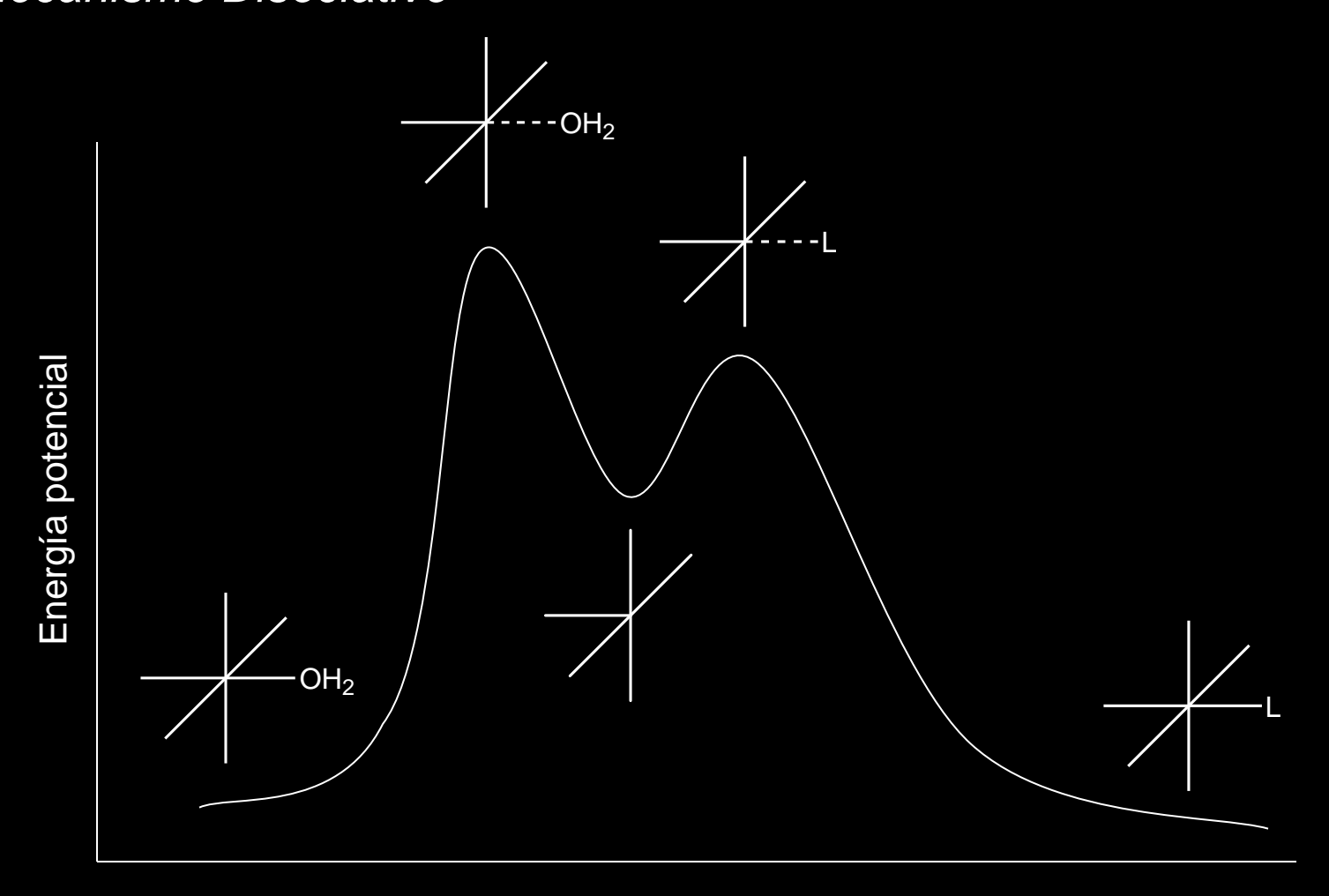
Cinética de Intercambio de Ligandos



Coordenada de reacción

Cinética de Intercambio de Ligandos

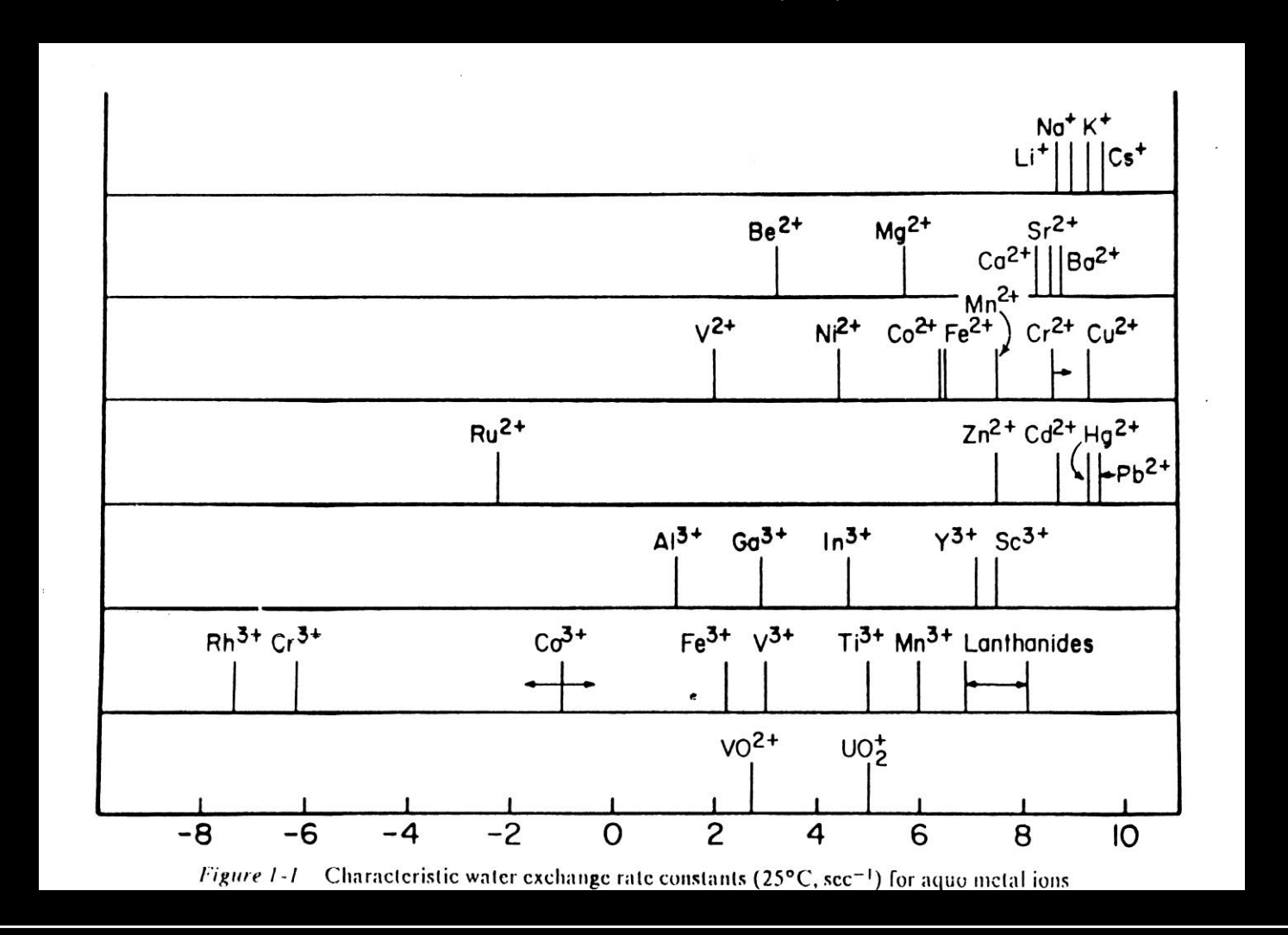
Mecanismo Disociativo



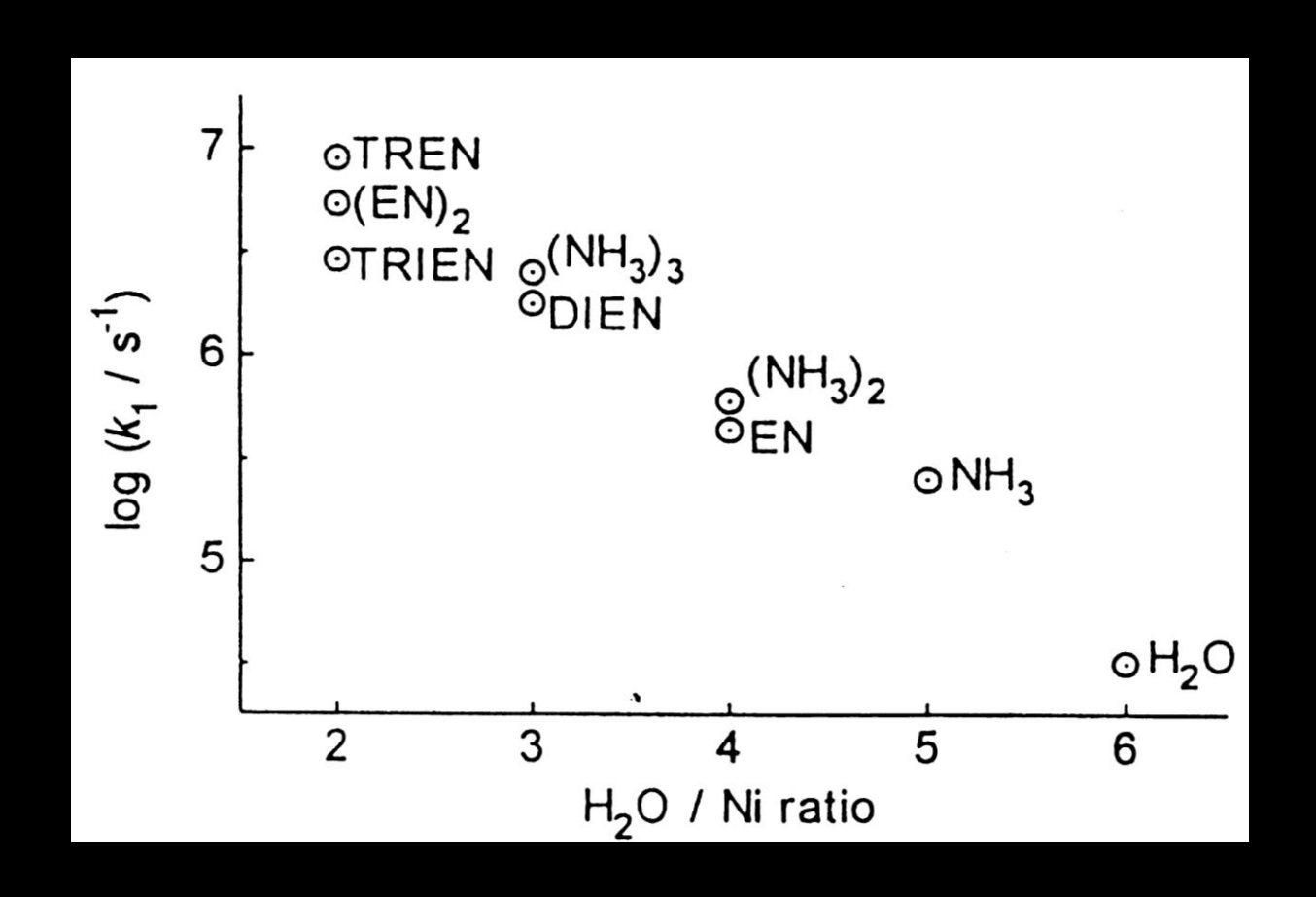
Coordenada de reacción

Intercambio de Agua

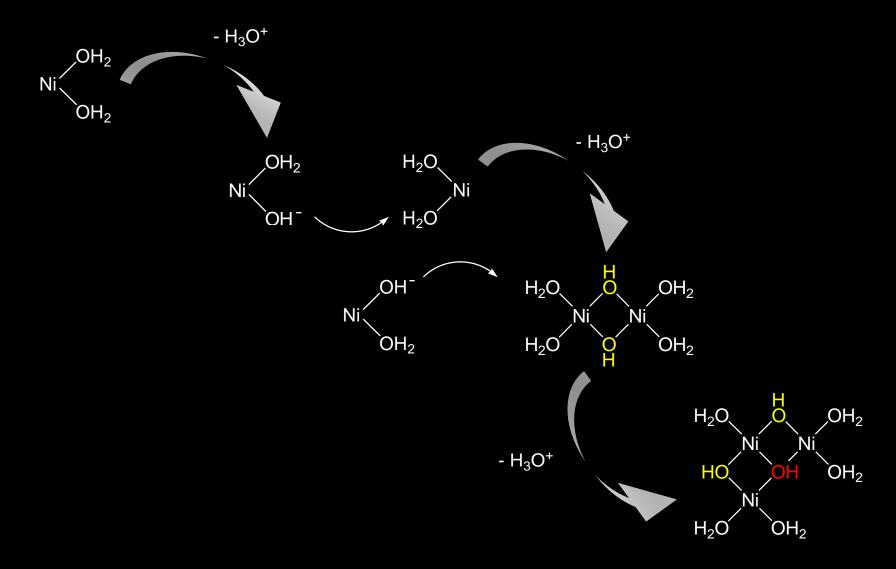
$$M(H_2O)_n^{z+} + H_2O^* \xrightarrow{k_{ex}} M(H_2O)_{(n-1)}(H_2O^*)^{z+} + H_2O$$



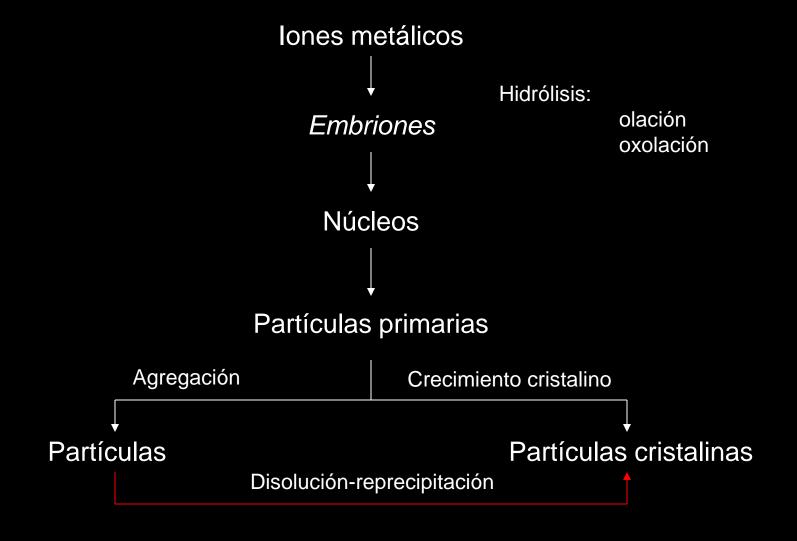
Efecto de los Ligandos sobre k_{ex}

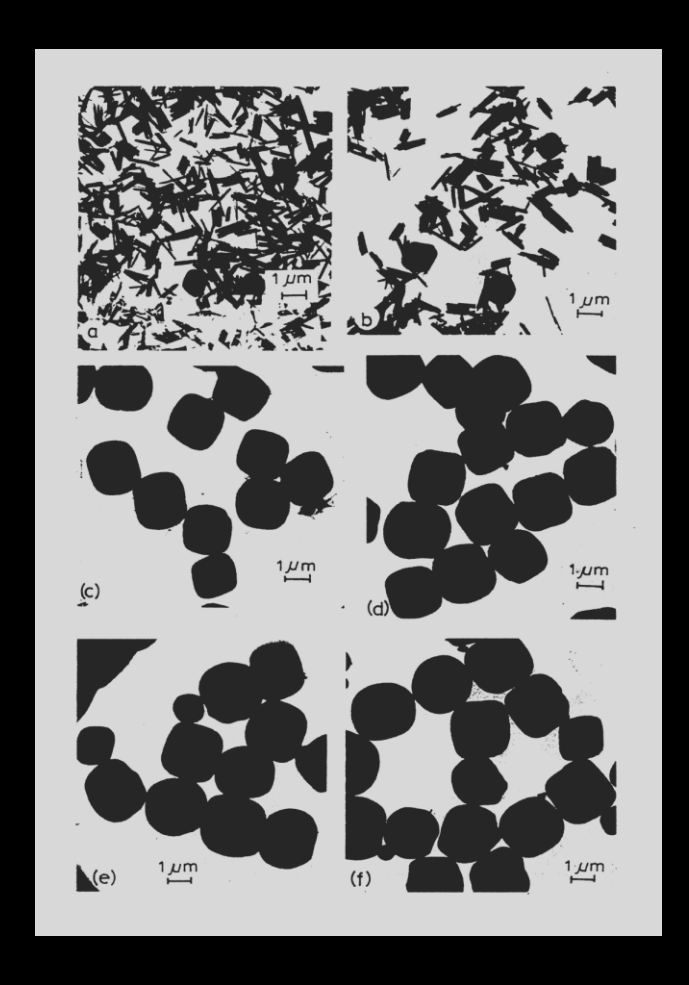


Nucleación (Cascada de hidrólisis)

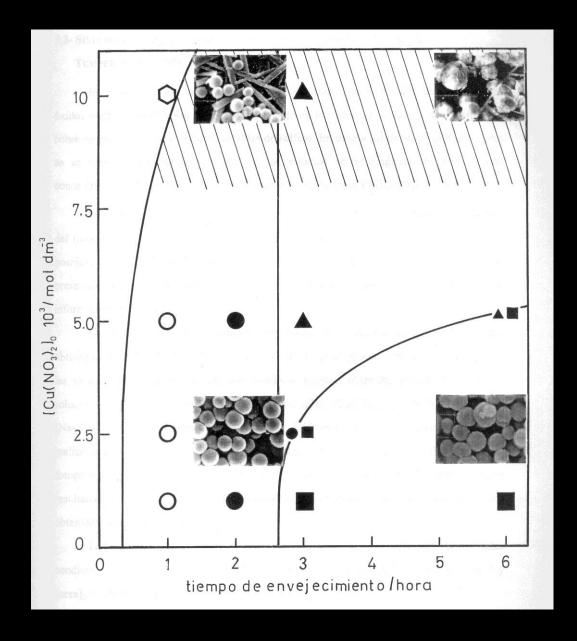


Mecanismo de Precipitación





Transformación $\beta\text{-FeOOH}\to\alpha\text{-Fe}_2\text{O}_3$ durante el envejecimiento de una solución 0.01 M de FeCl₃ a 98 °C



La Regla de Ostwald (el pez grande se come al pez chico)

$$M(OH)_{z}(s) + zH^{+} \longleftrightarrow M^{z+}(aq) + zH_{2}O; K_{S0}$$

$$-RT \ln K_{S0} = \Delta G^{0}$$

$$-RT \ln K_{S0}(r) = \Delta G^{0} - 4\pi r^{2} N\gamma$$

$$N = \frac{3\overline{V}}{4\pi r^{3}}$$

$$\ln K_{S0}(r) = \ln K_{S0} + \frac{3\overline{V}\gamma}{RT} \frac{1}{r}$$

El sólido que precipita primero es el sólido más soluble

Monodispersed Colloidal Cerium(IV) Compounds

Langmuir, Vol. 4, No. 1, 1988 33

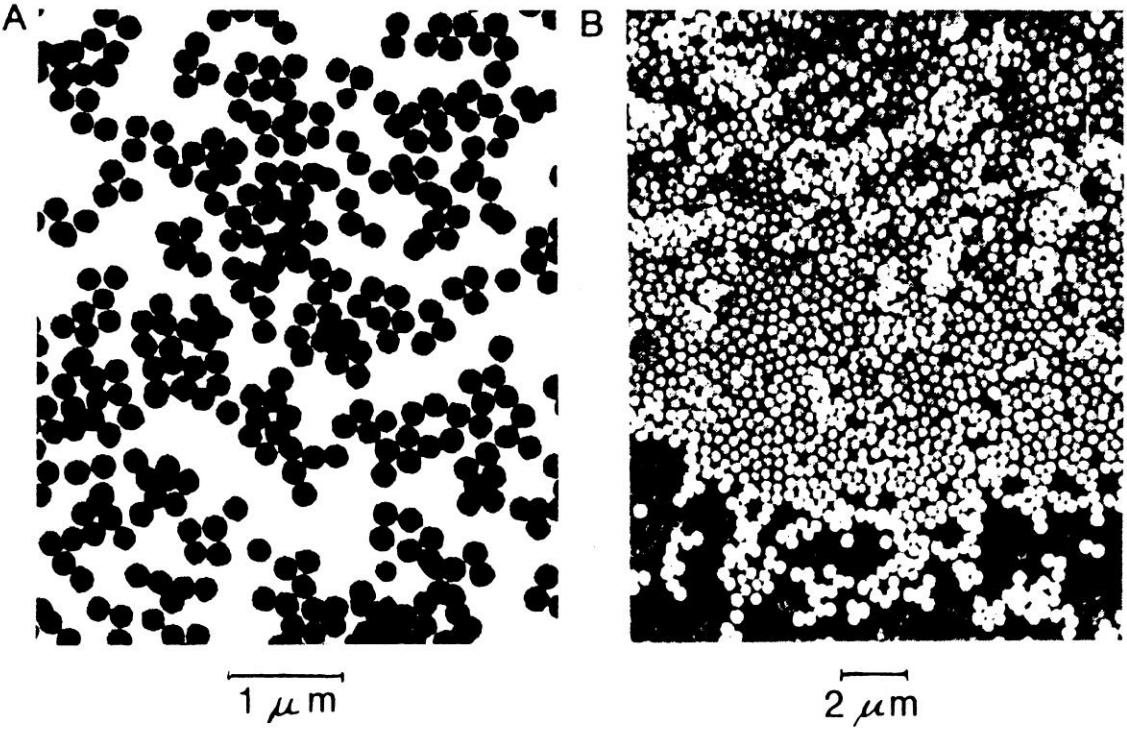
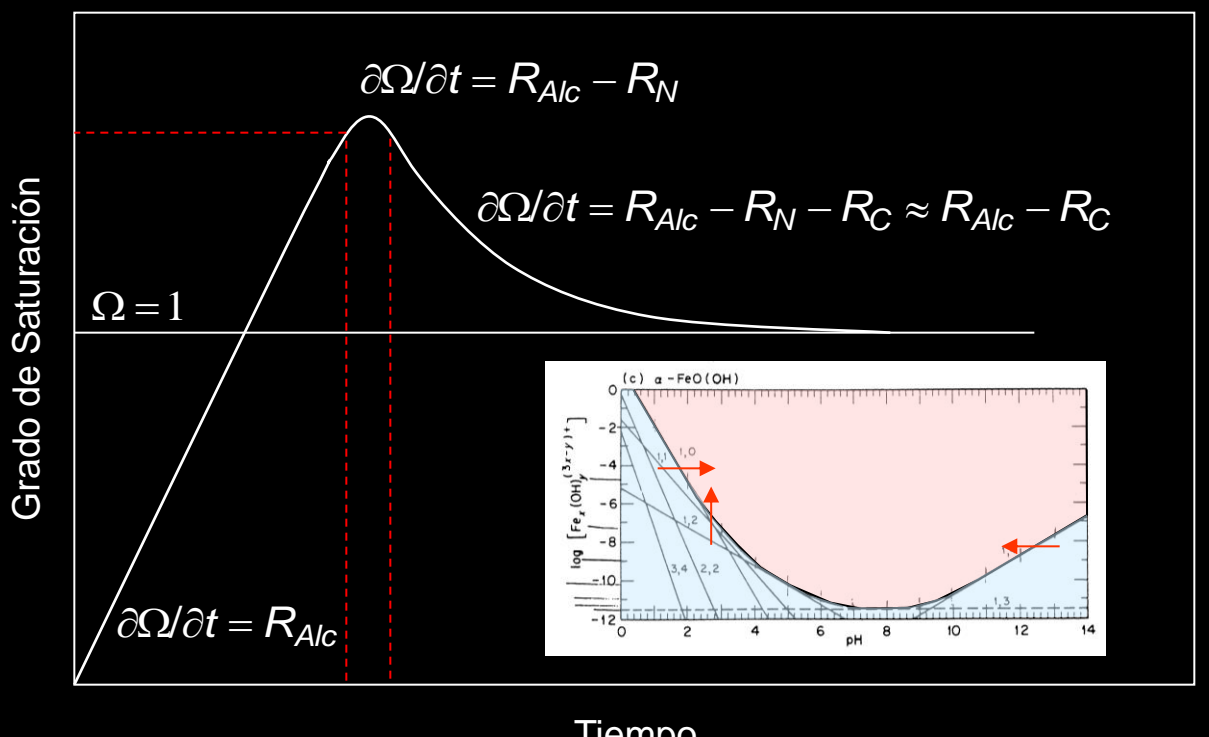


Figure 2. Transmission (TEM) (A) and scanning (SEM) (B) electron micrograph of CeO_2 particles obtained by aging at 90 °C for 48 h a solution 1.2×10^{-3} mol dm⁻³ in $Ce(SO_4)_2$ and 8.0×10^{-2} mol dm⁻³ in H_2SO_4 .

Requisito: Separar las etapas de nucleación y crecimiento



Tiempo

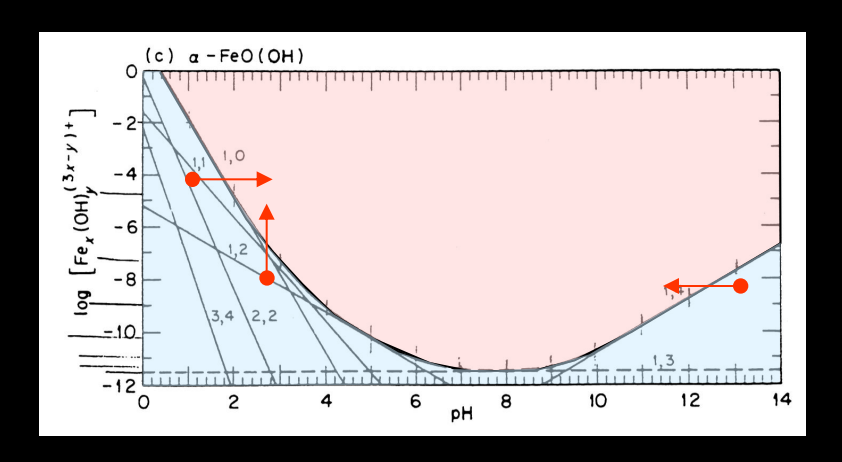
Se logra mediante un adecuado control de la velocidad con que aumenta el grado de sobresaturación

Requisito: Separar las etapas de nucleación y crecimiento

Adecuado control del grado de la sobresaturación

Cómo sintetizarlas?



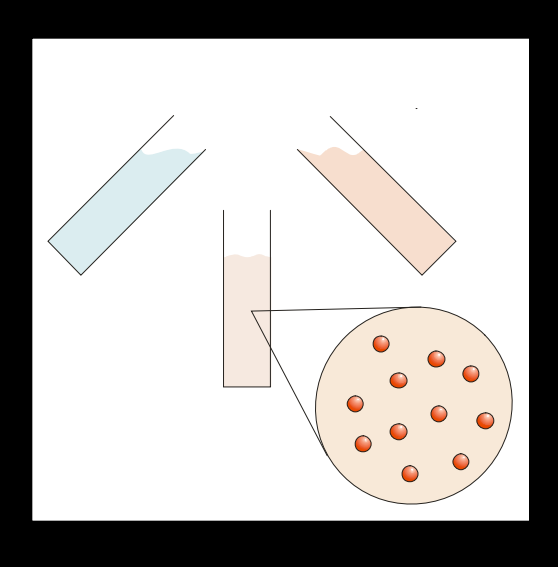


- Hidrólisis forzada
- Descomposición de iones complejos
- Oxidación-Reducción
- Alcalinización homogénea

Requisito: Separar las etapas de nucleación y crecimiento

Adecuado control del grado de la sobresaturación

Cómo sintetizarlas?



Procedimientos

- Hidrólisis forzada
- Descomposición de iones complejos
- Oxidación-Reducción
- Alcalinización homogénea

Principio:

$$\frac{\partial \log K_{S0}}{\partial T} = \frac{\Delta H_{S0}^{o}}{2.3RT^{2}}$$

 $\log K_{\rm S0} \approx a - b \times \log K_{\rm a1}$

S

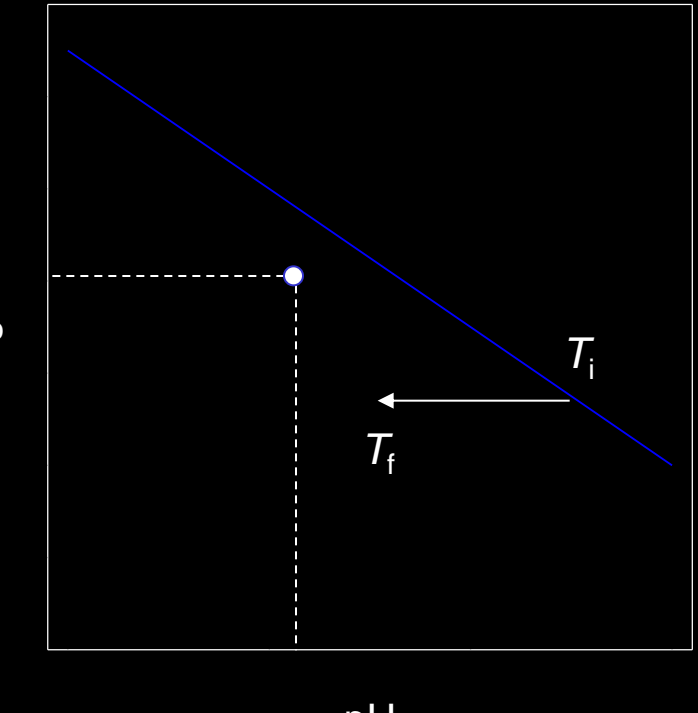
Vale si la solubilidad está definida por la concentración del ión M^{z+}

$$\frac{\partial \log K_{S0}}{\partial T} \approx -\frac{b\Delta H_{a1}^{o}}{2.3RT^{2}}$$

$$\Delta H_{a1}^{o} > 0$$

Definir:

- Composición inicial del sistema
- Temperatura final
- •Gradiente de temperatura
- •Tiempo de reacción



рΗ

Principio:

$$\frac{\partial \log K_{S0}}{\partial T} = \frac{\Delta H_{S0}^{o}}{2.3RT^{2}}$$

 $\log K_{\rm S0} \approx a - b \times \log K_{\rm a1}$

S

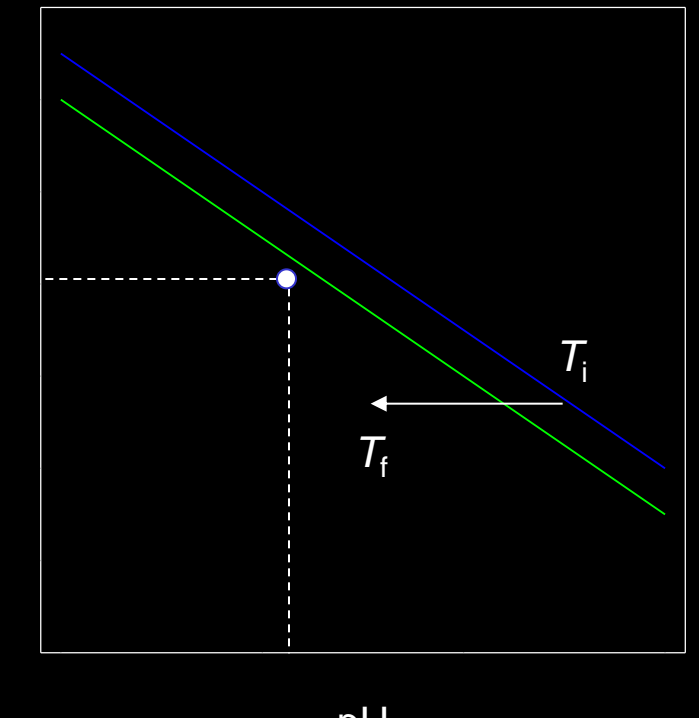
Vale si la solubilidad está definida por la concentración del ión M^{z+}

$$\frac{\partial \log K_{S0}}{\partial T} \approx -\frac{b\Delta H_{a1}^{o}}{2.3RT^{2}}$$

$$\Delta H_{a1}^{o} > 0$$

Definir:

- Composición inicial del sistema
- Temperatura final
- •Gradiente de temperatura
- •Tiempo de reacción



рΗ

Principio:

$$\frac{\partial \log K_{S0}}{\partial T} = \frac{\Delta H_{S0}^{o}}{2.3RT^{2}}$$

 $\log K_{\rm S0} \approx a - b \times \log K_{\rm a1}$

S

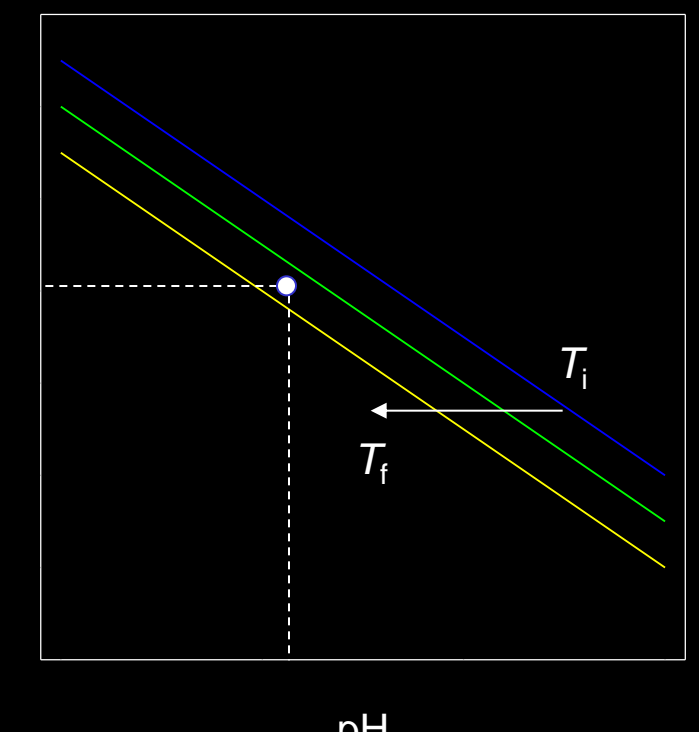
Vale si la solubilidad está definida por la concentración del ión Mz+

$$\frac{\partial \log K_{S0}}{\partial T} \approx -\frac{b\Delta H_{a1}^{o}}{2.3RT^{2}}$$

$$\Delta H_{a1}^{o} > 0$$

Definir:

- Composición inicial del sistema
- Temperatura final
- •Gradiente de temperatura
- •Tiempo de reacción



pН

Principio:

$$\frac{\partial \log K_{S0}}{\partial T} = \frac{\Delta H_{S0}^{o}}{2.3RT^{2}}$$

 $\log K_{\rm S0} \approx a - b \times \log K_{\rm a1}$

S

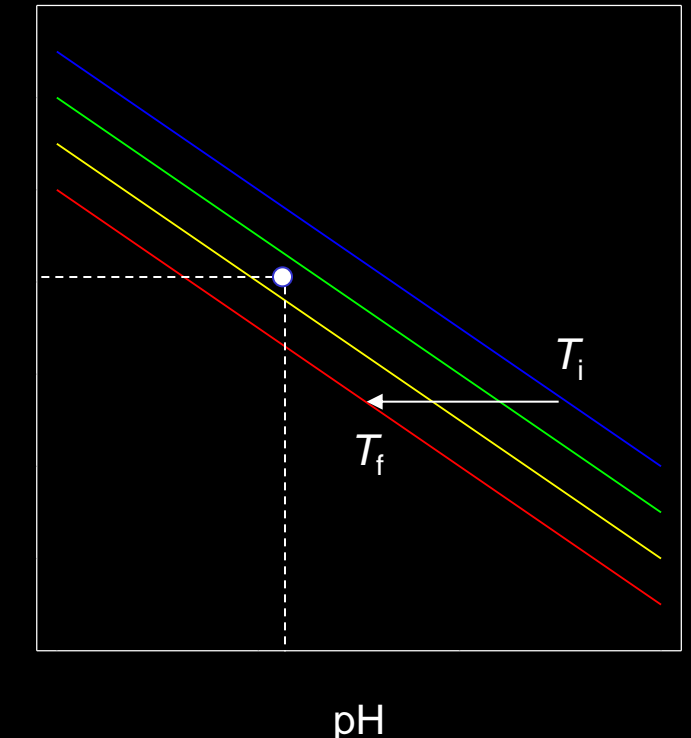
Vale si la solubilidad está definida por la concentración del ión Mz+

$$\frac{\partial \log K_{S0}}{\partial T} \approx -\frac{b\Delta H_{a1}^{o}}{2.3RT^{2}}$$

$$\Delta H_{a1}^{o} > 0$$

Definir:

- Composición inicial del sistema
- Temperatura final
- •Gradiente de temperatura
- •Tiempo de reacción



Descomposición de lones Complejos

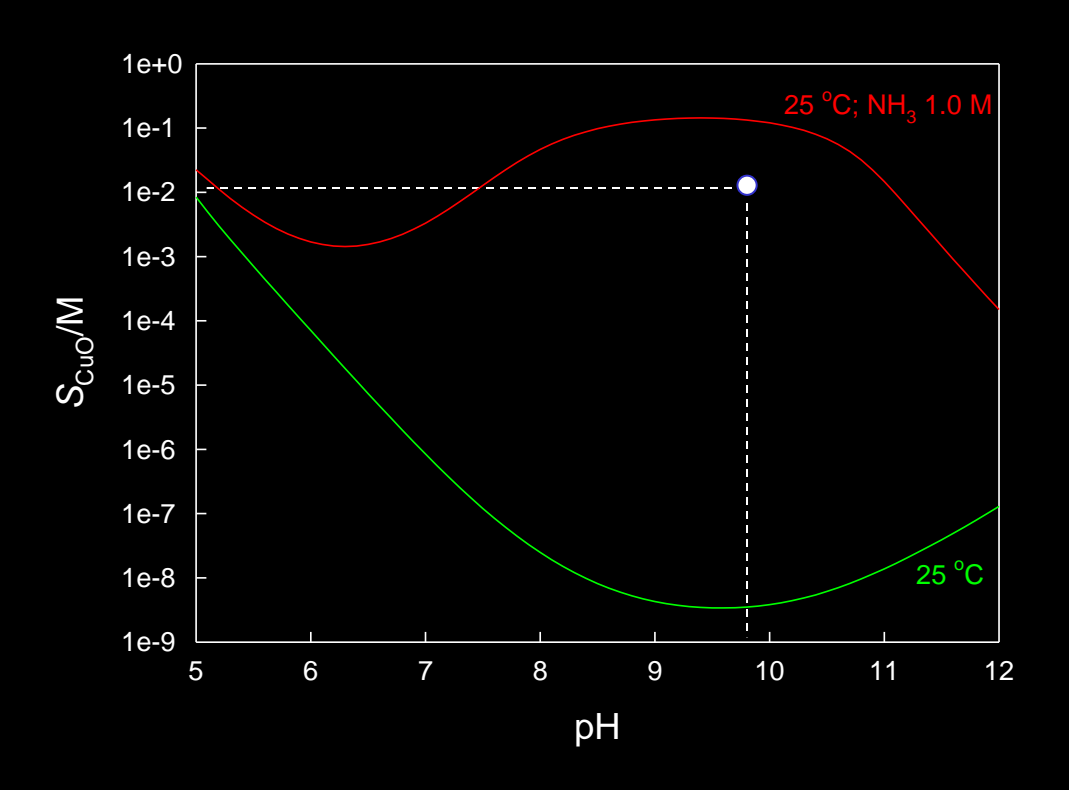
Principio:

$$M(OH)_z(s) + zH^+ + nL^{m-} = ML_n^{(z-nm)+} + zH_2O$$

$$M^{z+} + nL^{m-} = ML_n^{(z-nm)+}; \quad K_{ML_n} \qquad \Delta H_{ML_n}^{o} < 0$$

Definir:

- Naturaleza del ligando
- Composición inicial del sistema
- Temperatura final
- •Gradiente de temperatura
- •Tiempo de reacción



Descomposición de lones Complejos

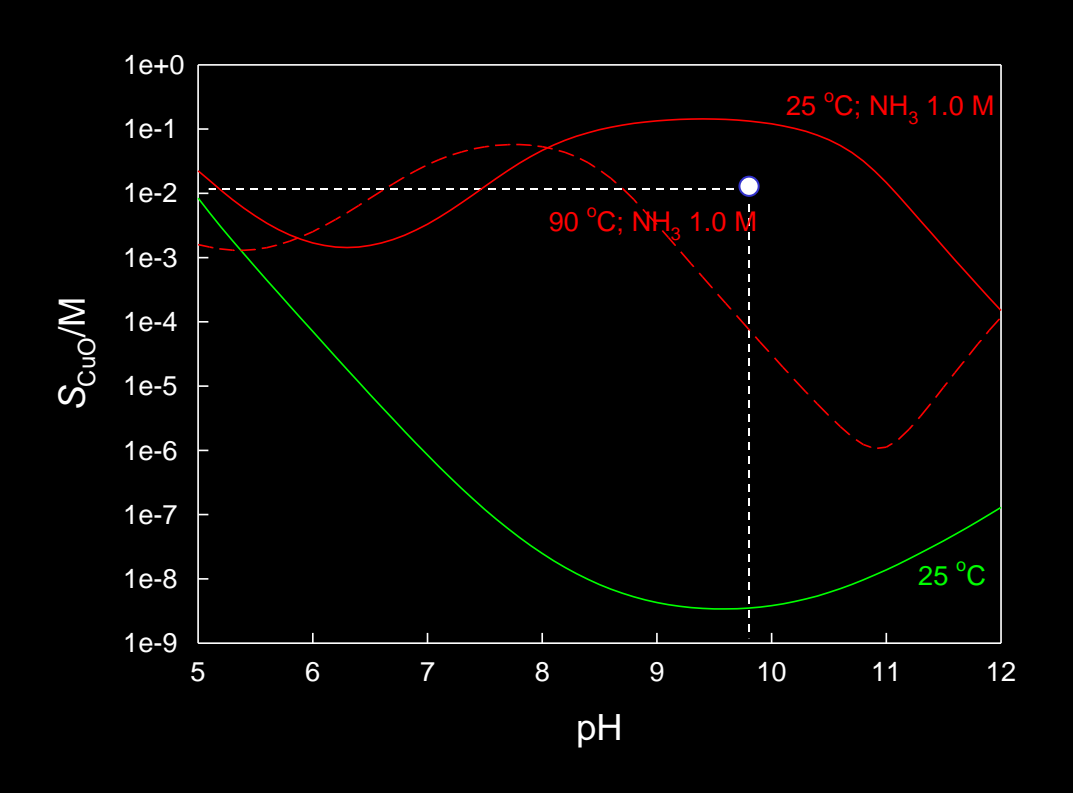
Principio:

$$M(OH)_z(s) + zH^+ + nL^{m-} = ML_n^{(z-nm)+} + zH_2O$$

$$M^{z+} + nL^{m-} = ML_n^{(z-nm)+}; \quad K_{ML_n} \qquad \Delta H_{ML_n}^{o} < 0$$

Definir:

- •Naturaleza del ligando
- Composición inicial del sistema
- Temperatura final
- •Gradiente de temperatura
- Tiempo de reacción



Alcalinización Homogénea

Hidrólisis de glicidol

$$\bigoplus_{H_{2}C} CH - CH_{2}$$

$$\downarrow_{H_{2}C} CH - CH$$

Alcalinización Homogénea

Hidrólisis de urea

$$(NH_{2})_{2}CO + H^{+} + 2H_{2}O \longrightarrow HCO_{3}^{-} + 2NH_{4}^{+}$$

$$(NH_{2})_{2}CO \xrightarrow{k_{1}} OCN^{-} + NH_{4}^{+}$$

$$OCN^{-} + H^{+} + 2H_{2}O \xrightarrow{k_{2}} HCO_{3}^{-} + NH_{4}^{+}$$

$$0.03$$

$$0.04$$

$$0.04$$

$$0.07$$

$$0.00$$

$$0.00$$

$$0.00$$

$$0.00$$

$$0.00$$

$$0.00$$

$$0.00$$

$$0.00$$

$$0.00$$

$$0.00$$

$$0.00$$

$$0.00$$

$$0.00$$

$$0.00$$

$$0.00$$

$$0.00$$

$$0.00$$

$$0.00$$

$$0.00$$

$$0.00$$

$$0.00$$

$$0.00$$

$$0.00$$

$$0.00$$

$$0.00$$

$$0.00$$

$$0.00$$

$$0.00$$

$$0.00$$

$$0.00$$

$$0.00$$

$$0.00$$

$$0.00$$

$$0.00$$

$$0.00$$

$$0.00$$

$$0.00$$

$$0.00$$

$$0.00$$

$$0.00$$

$$0.00$$

$$0.00$$

$$0.00$$

$$0.00$$

$$0.00$$

$$0.00$$

$$0.00$$

$$0.00$$

$$0.00$$

$$0.00$$

$$0.00$$

$$0.00$$

$$0.00$$

$$0.00$$

$$0.00$$

$$0.00$$

$$0.00$$

$$0.00$$

$$0.00$$

$$0.00$$

$$0.00$$

$$0.00$$

$$0.00$$

$$0.00$$

$$0.00$$

$$0.00$$

$$0.00$$

$$0.00$$

$$0.00$$

$$0.00$$

$$0.00$$

$$0.00$$

$$0.00$$

$$0.00$$

$$0.00$$

$$0.00$$

$$0.00$$

$$0.00$$

$$0.00$$

$$0.00$$

$$0.00$$

$$0.00$$

$$0.00$$

$$0.00$$

$$0.00$$

$$0.00$$

$$0.00$$

$$0.00$$

$$0.00$$

$$0.00$$

$$0.00$$

$$0.00$$

$$0.00$$

$$0.00$$

$$0.00$$

$$0.00$$

$$0.00$$

$$0.00$$

$$0.00$$

$$0.00$$

$$0.00$$

$$0.00$$

$$0.00$$

$$0.00$$

$$0.00$$

$$0.00$$

$$0.00$$

$$0.00$$

$$0.00$$

$$0.00$$

$$0.00$$

$$0.00$$

$$0.00$$

$$0.00$$

$$0.00$$

$$0.00$$

$$0.00$$

$$0.00$$

$$0.00$$

$$0.00$$

$$0.00$$

$$0.00$$

$$0.00$$

$$0.00$$

$$0.00$$

$$0.00$$

$$0.00$$

$$0.00$$

$$0.00$$

$$0.00$$

$$0.00$$

$$0.00$$

$$0.00$$

$$0.00$$

$$0.00$$

$$0.00$$

$$0.00$$

$$0.00$$

$$0.00$$

$$0.00$$

$$0.00$$

$$0.00$$

$$0.00$$

$$0.00$$

$$0.00$$

$$0.00$$

$$0.00$$

$$0.00$$

$$0.00$$

$$0.00$$

$$0.00$$

$$0.00$$

$$0.00$$

$$0.00$$

$$0.00$$

$$0.00$$

$$0.00$$

$$0.00$$

$$0.00$$

$$0.00$$

Alcalinización Homogénea

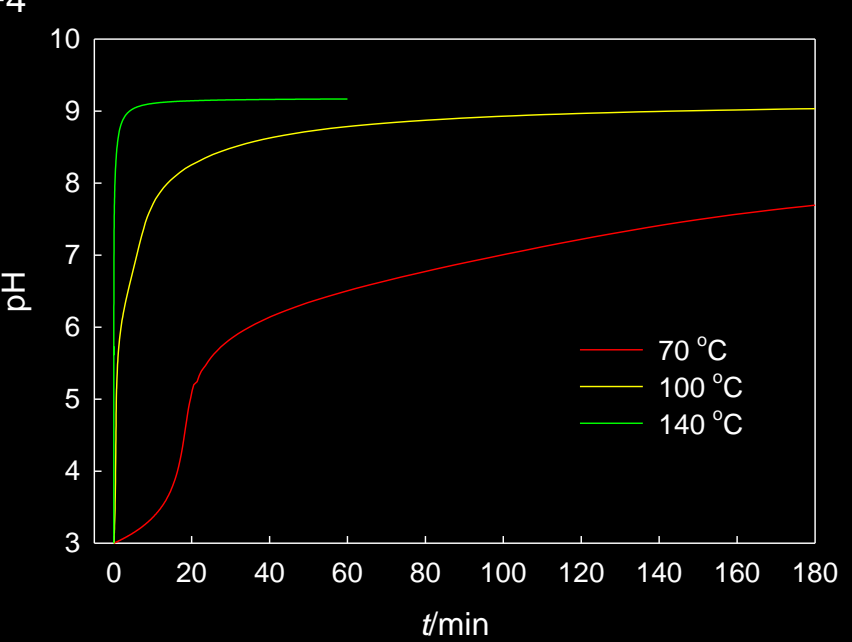
Hidrólisis de urea

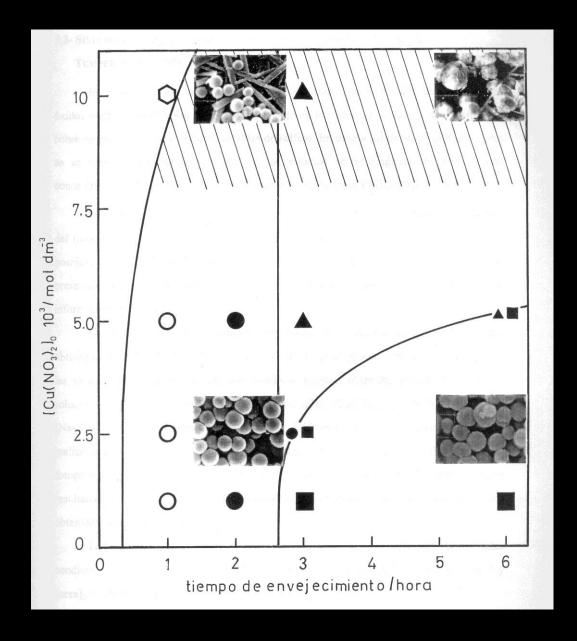
$$(NH2)2CO + H+ + 2H2O \longrightarrow HCO3- + 2NH4+$$

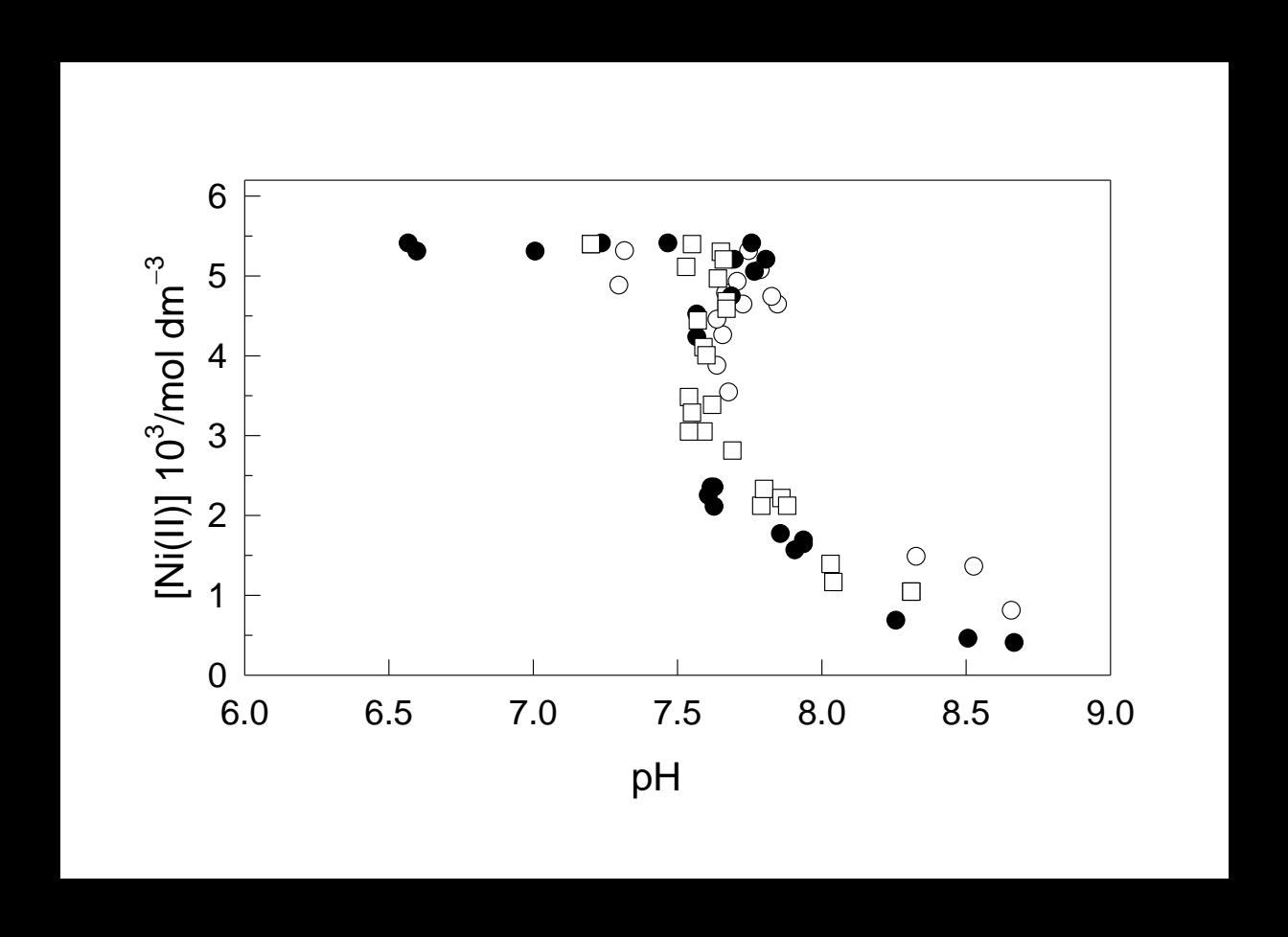
$$(NH_2)_2CO \xrightarrow{k_1} OCN^- + NH_4^+$$

$$OCN^{-} + H^{+} + 2H_{2}O \xrightarrow{k_{2}} HCO_{3}^{-} + NH_{4}^{+}$$

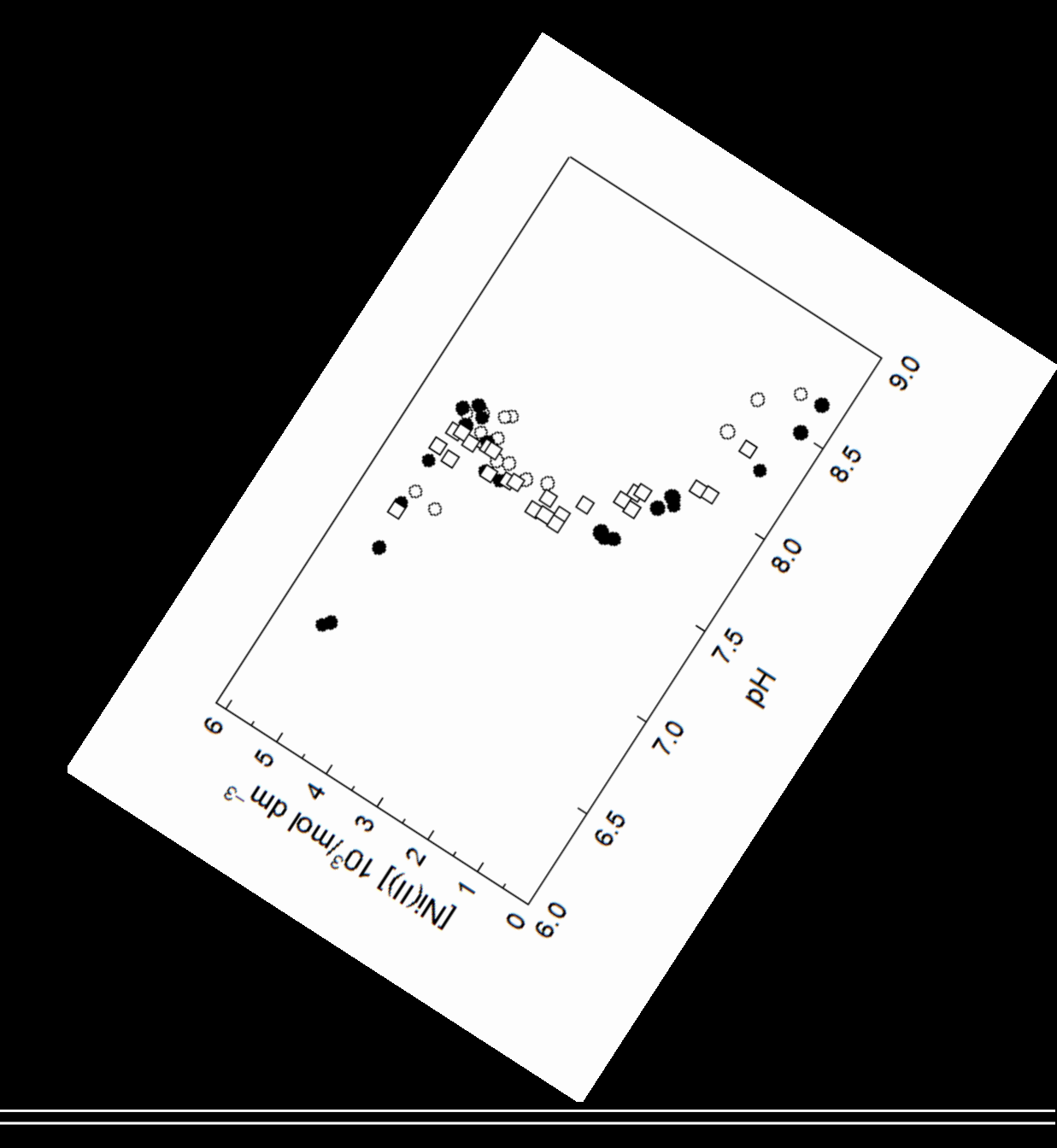
$$HCO_3^- \longrightarrow CO_3^{2-} + H^+$$

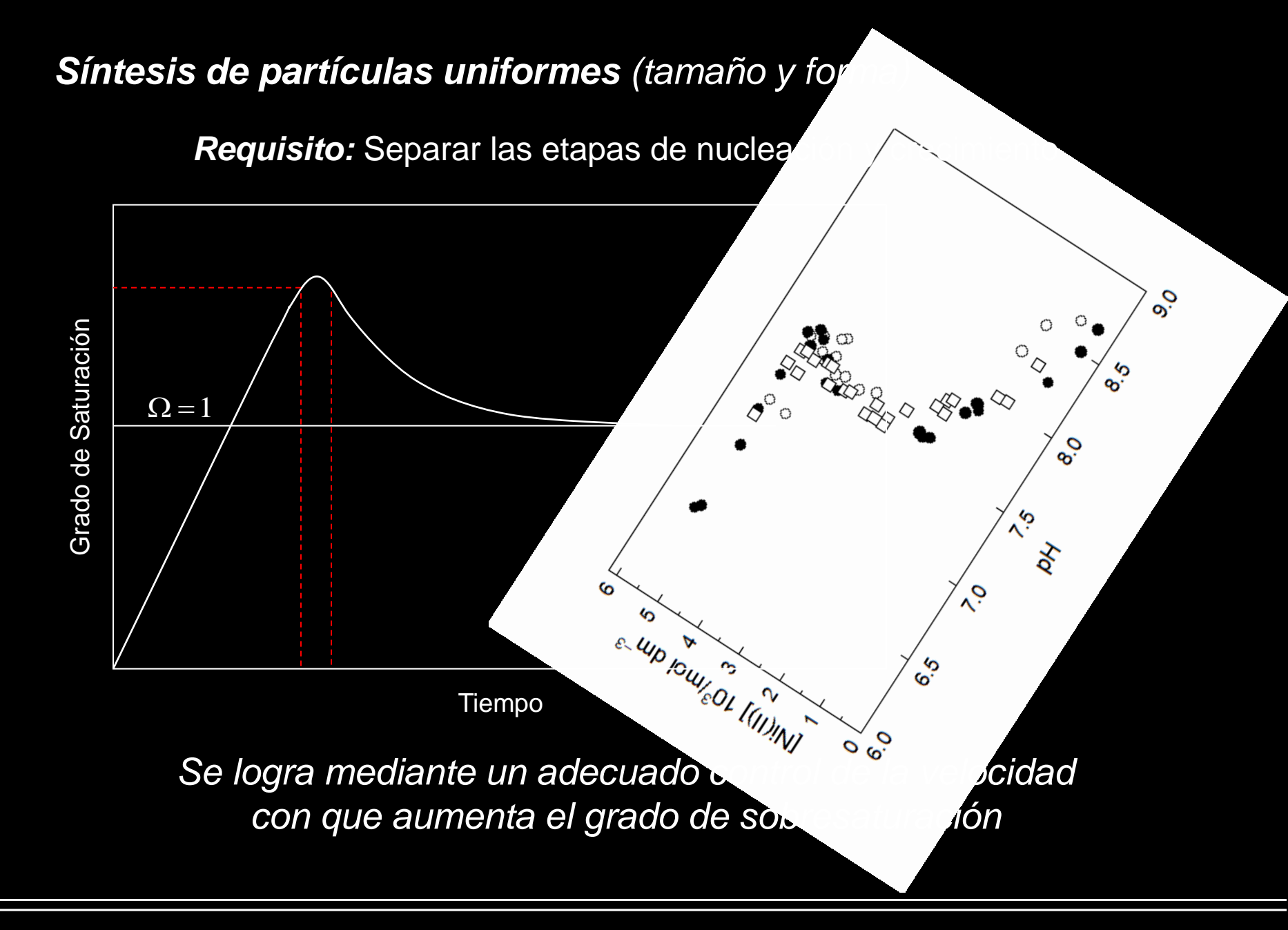




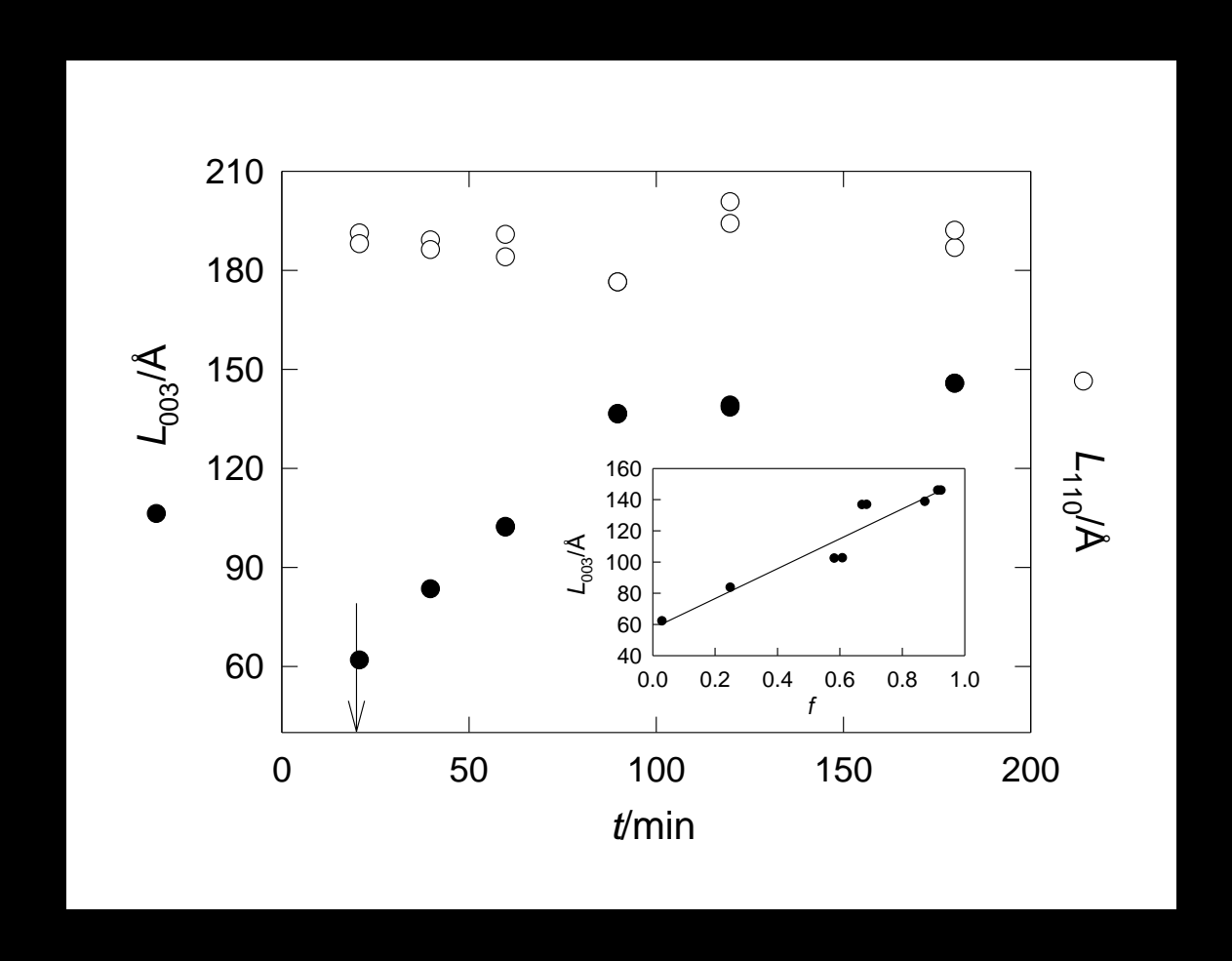


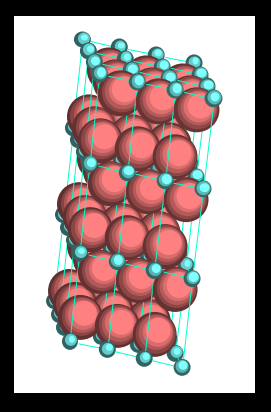
Evolución de la composición de la solución durante la precipitación de α-Ni(OH)₂





Evolución del tamaño de cristalito durante la precipitación de α-Ni(OH)₂





Requisito: Separar las etapas de nucleación y crecimiento

Adecuado control del grado de la sobresaturación

Cómo sintetizarlas?

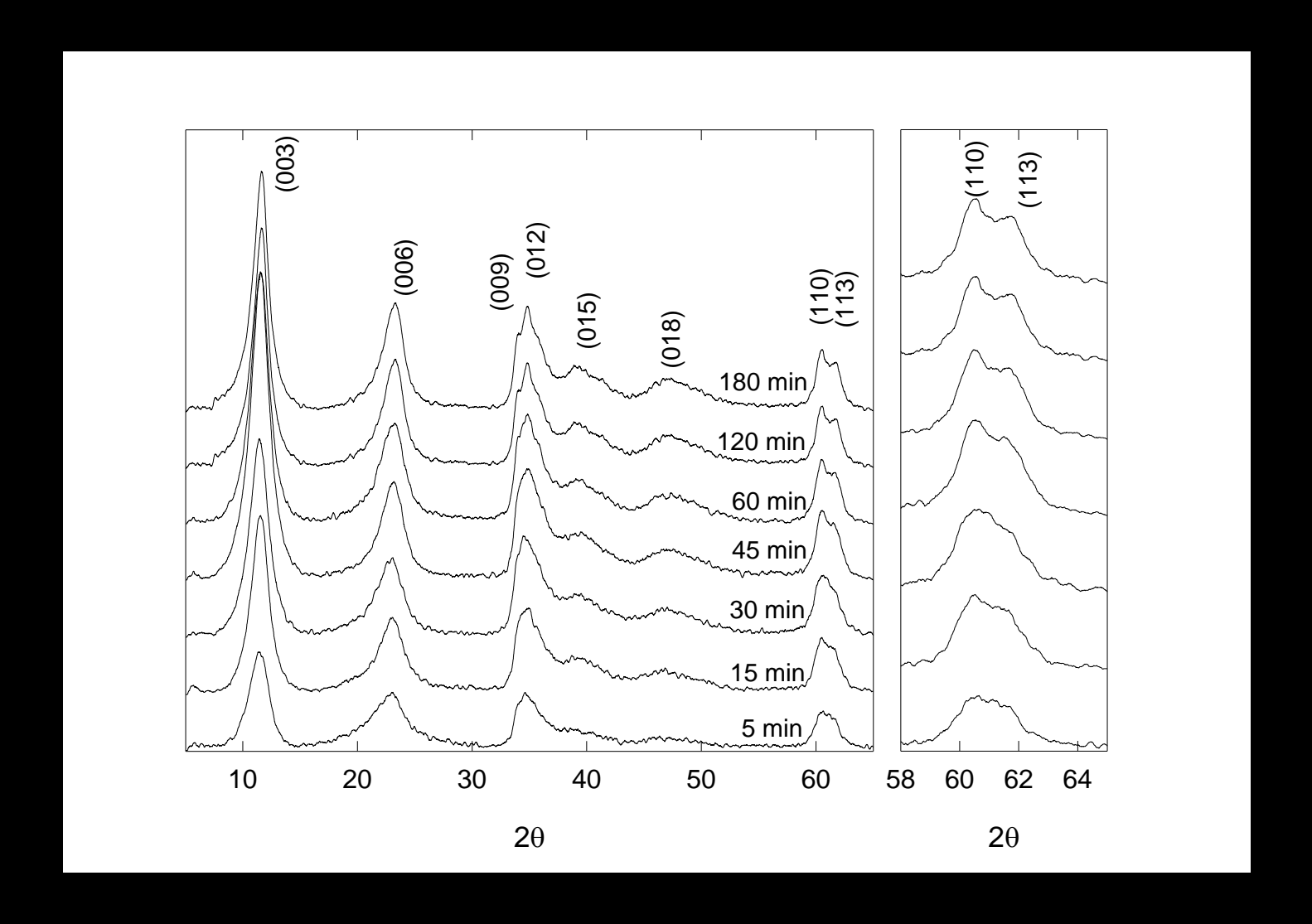
Alcalinización homogénea

Procedimientos

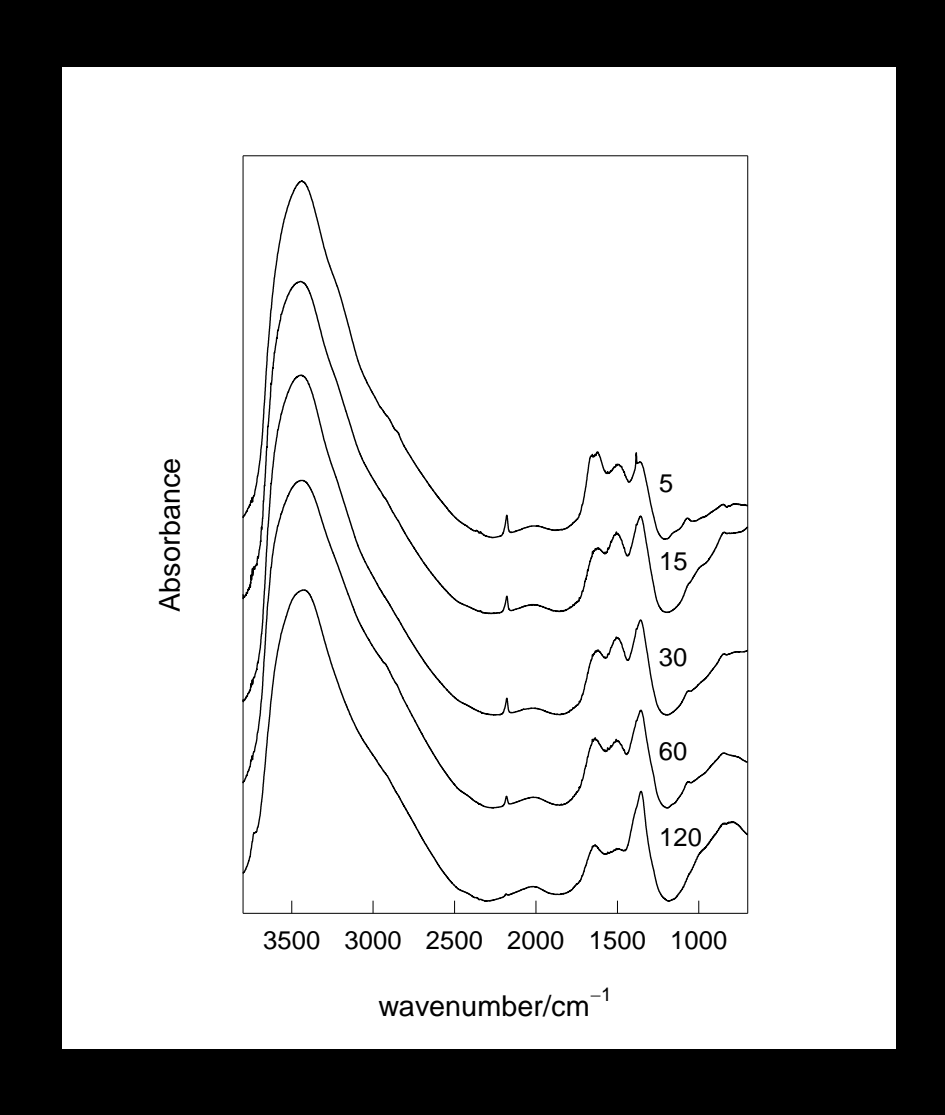
- Hidrólisis forzada
- Descomposición de iones complejos
- Oxidación-Reducción

Son adecuados para sintetizar óxidos mixtos??

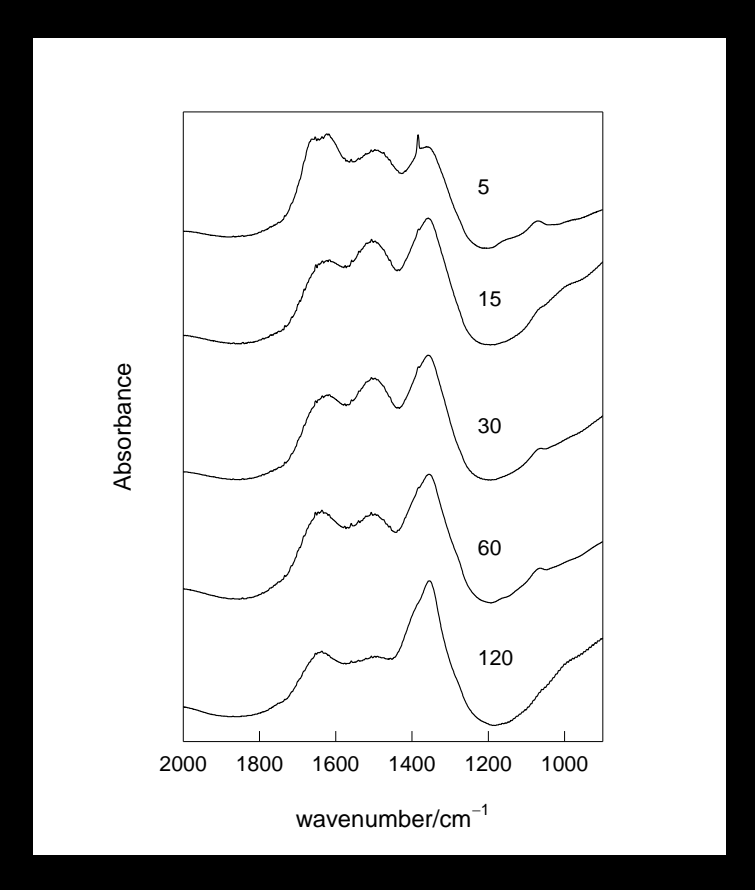
Diagramas de DRX de HDLs de Ni(II)-Cr(III)



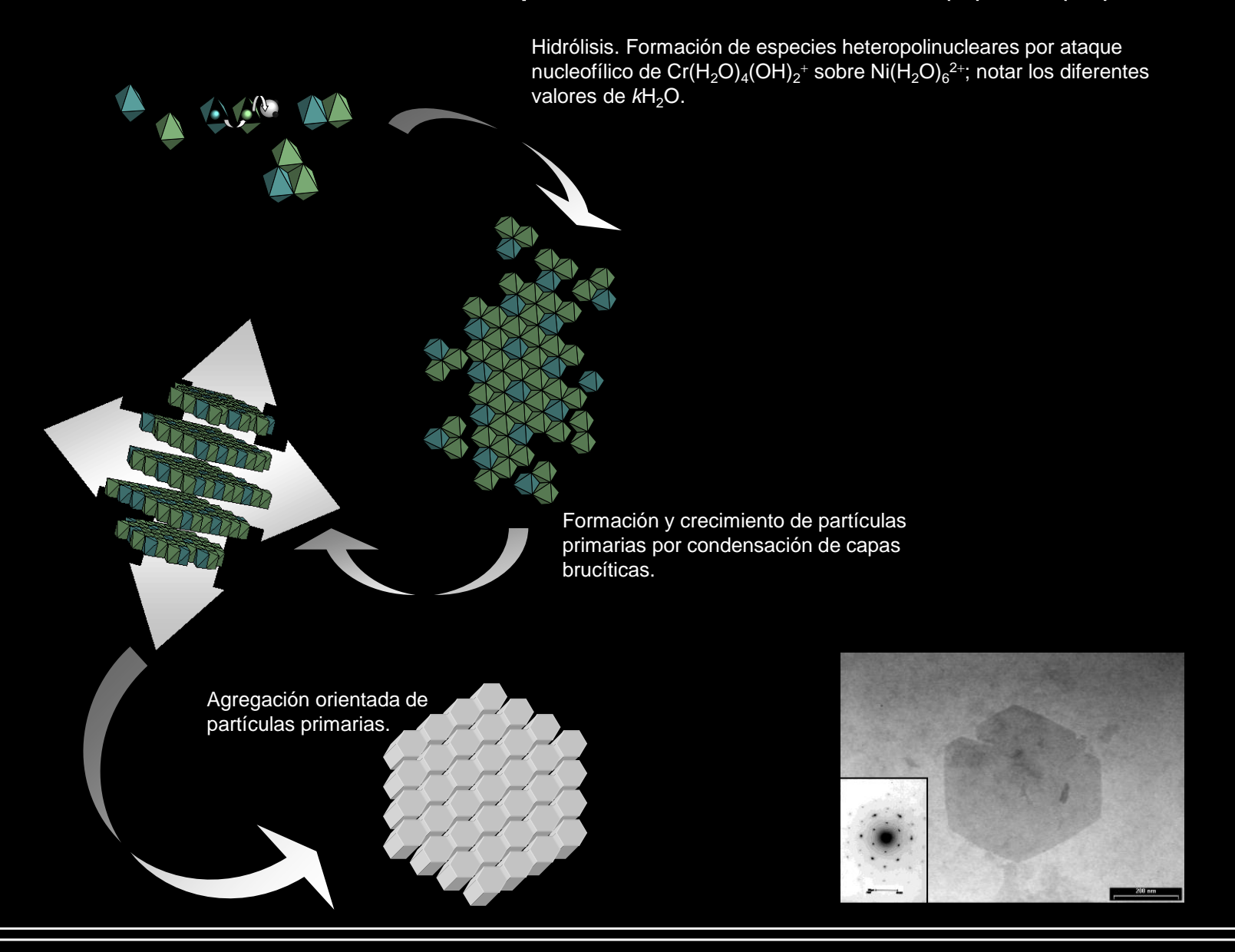
Espectros FTIR de HDLs de Ni(II)-Cr(III)



Espectros FTIR de HDLs de Ni(II)-Cr(III)



Mecanismo de Precipitación de HDLs de Ni(II)-Cr(III)



Requisito: Separar las etapas de nucleación y crecimiento

Adecuado control del grado de la sobresaturación

Cómo sintetizarlas?

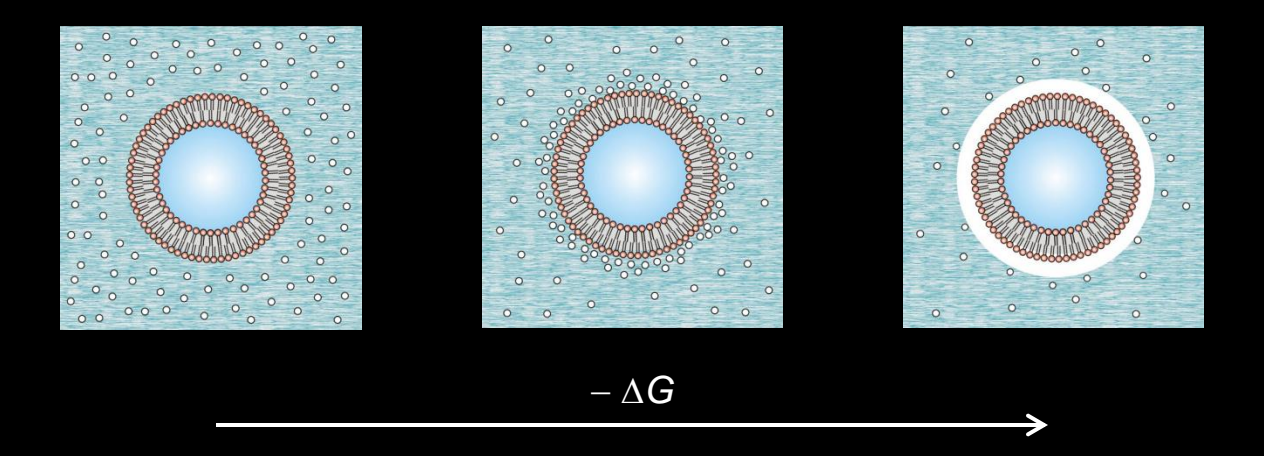
Alcalinización homogénea

Procedimientos

- Hidrólisis forzada
- Descomposición de iones complejos
- Oxidación-Reducción

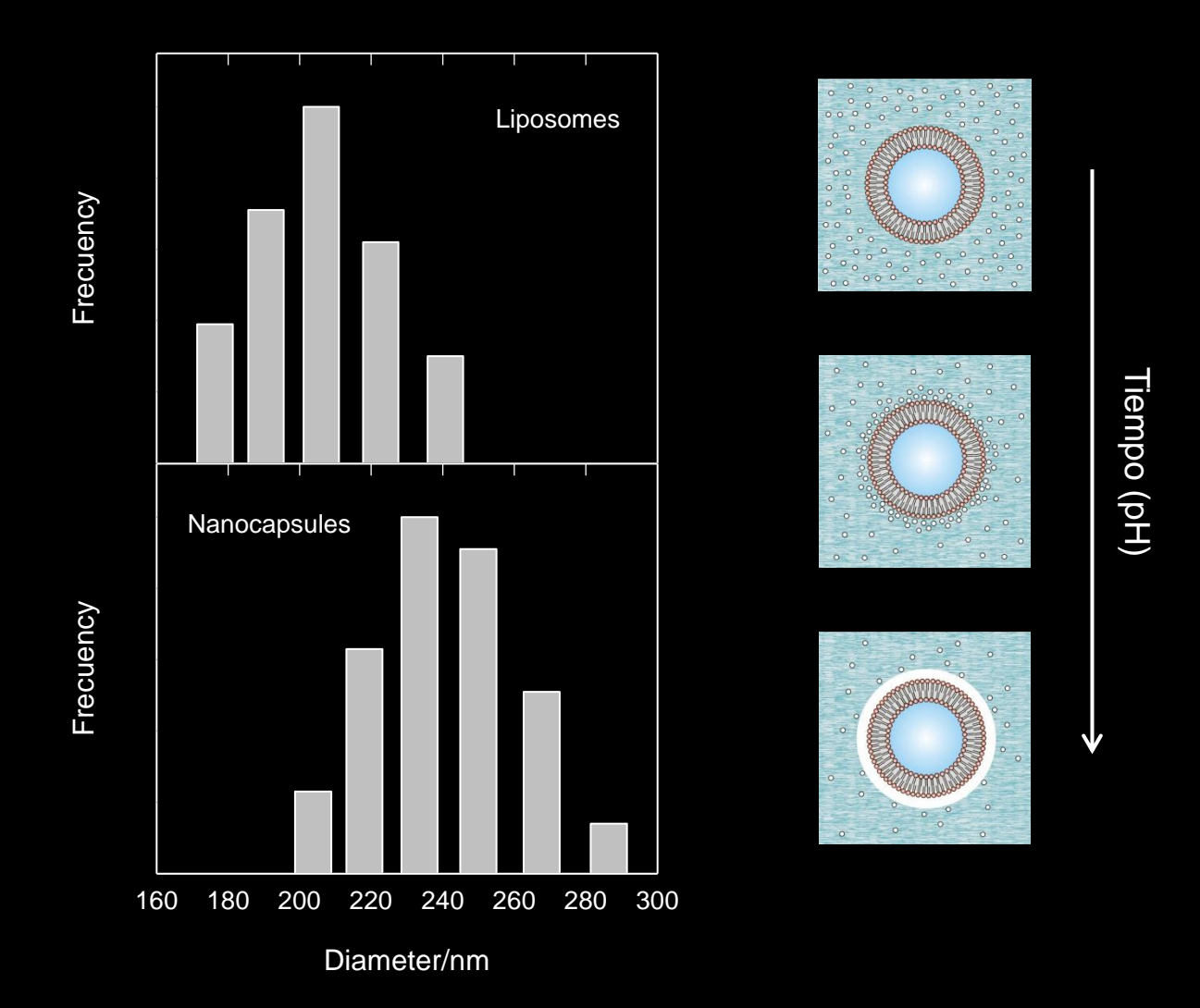
Son adecuados para sintetizar partículas Core@Shell??

Síntesis de partículas Core @Shell: haciendo huevos...

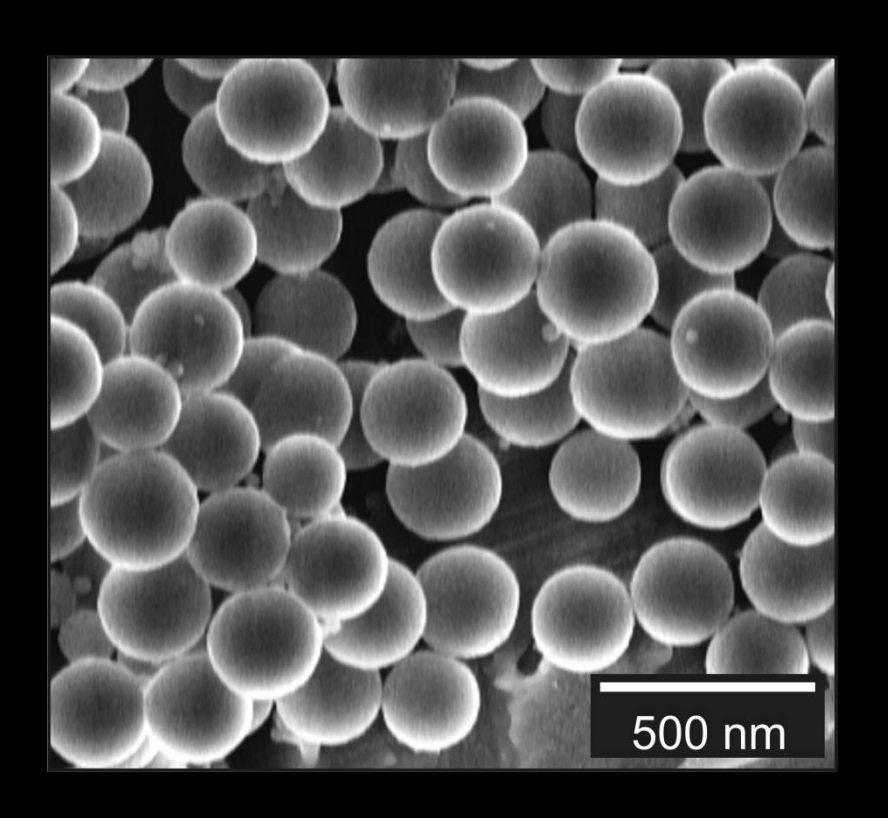


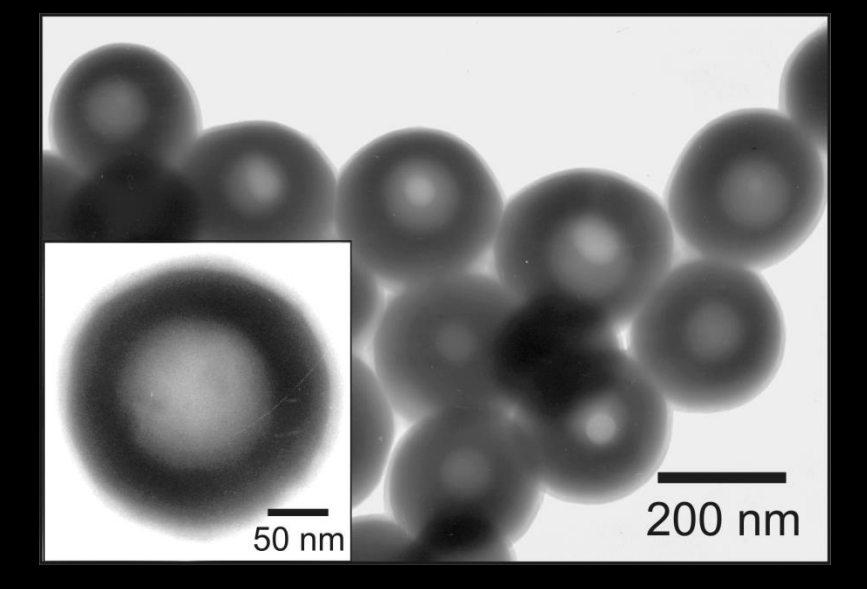
- Liposomas estables
 - Naturaleza de los fosfolípidos
 - Naturaleza de la cáscara
- Adecuada velocidad de alcalinización
 - Rápida (supervivencia de los liposomas)
 - Lenta (asegurar nucleación heterogénea)

Nanocápsulas Liposoma@Y(OH)CO₃xH₂O



Nanocápsulas Liposoma@Y(OH)CO₃xH₂O





Nanocápsulas Liposoma@Y(OH)CO₃xH₂O

